ژنتیک نوین
دوره چهارم، شماره ٤، زمستان ١٣٨٨
صفحه٢٦-٥

بررسی روند تغییر بیان ژن‌های یونجه یکساله در پاسخ به باکتری *Ralestonia solanacearum*

احد یامچی[١]، سیدرضا زارعی[٢]، آقافخر میرلوحی[٣]، Laurent Gentzbittel4[٤]، بدرالدین‌ابراهیم سیدطباطبایی[٥]، کتایون امیدی[٦]

١- دانشجوی دکتری دانشگاه صنعتی اصفهان و دانشگاه INP-Toulouse فرانسه

٢و٥- به‌ترتیب استادیار و دانشیار گروه بیوتکنولوژی، دانشکده کشاورزی، دانشگاه صنعتی اصفهان

٣- استاد گروه بیوتکنولوژی، دانشکده کشاورزی، دانشگاه صنعتی اصفهان

٤- استاد دانشگاه INP-Toulouse فرانسه

٦- کارشناسی ارشد دانشگاه Toulouse-III فرانسه

*نویسنده مسئول مکاتبات، پست الکترونیکی: mirlohi@cc.iut.ac.ir

(تاریخ دریافت: - تاریخ پذیرش:)

چکیده

خانواده بقولات از لحاظ تغذیه انسان‌ها و جانوران جز گیاهان مهم زراعی هستند که قادرند با باکتری تثبیت کننده ازت در خاک و همچنین قارچ‌های میکوریزا همزیستی داشته باشند. باکتری *Ralstonia solanacearum* باکتری خاکزی است که از طریق ریشه به بیش از ٢٠٠ گونه گیاهی از جمله تعدادی از بقولات حمله کرده و باعث مسدود شدن آوندهای گیاهی از یک طرف و از طرف دیگر هضم پروتئین‌ها و آنزیم‌های کلیدی سلول گیاهی از طریق سیستم ترشحی بیماریزایی نوع سوم می‌شود که نتیجه آن پژمردگی و از بین رفتن گیاهان است. در این تحقیق از گیاهان مقاوم و حساس *Medicago truncatula* به عنوان گیاه مدل جهت مطالعه تغییر بیان ژن‌ها بر علیه باکتری *R. solanacearum* استفاده گردید. مطالعات پروتئومیکس و ترانسکریپتومیکس نشان داد که بیان دو گروه از ژن‌ها در هر دو نوع گیاهان حساس و مقاوم افزایش می‌یابد. گروه اول شامل ژن‌هایی که محصول آنها بصورت مستقیم با پاتوژن واکنش می‌دهد مانند پروتئین‌های PI، PR و پراکسیداز و گروه دوم شامل ژن‌هایی که محصول آنها بعنوان فاکتورهای رونویسی یا پروتئین‌های شرکت کننده در مسیر انتقال پیام و یا به عنوان چپرون در تعیین شکل فضایی پروتئین‌های دیگر دخالت می‌کنند مانند پروتئین‌های HSP90 و peptidyl-prolyl cis-trans isomerase (PPI). مطالعات ترانسکریپتومیکس نشان داد که افزایش بیان ژن‌ها در گیاهان مقاوم پایدار ولی در گیاهان حساس ناپایدار است به این ترتیب که بیان ژن‌ها در یک روز پس از تلقیح با باکتری در هر دو نوع گیاهان حساس و مقاوم افزایش یافت ولی در ادامه و سه روز پس از تلقیح با باکتری بیان ژن‌ها در گیاهان حساس کاهش یافته ولی در گیاهان مقاوم ثابت ویا حتی افزایش یافت.

واژه‌های کلیدی

***Ralstonia solanacearum*،**
***Medicago truncatula*،**
پروتئومیکس،
ترانسکریپتومیکس،
ژن

[Downloaded from mail.mg.genetics.ir on 2026-11-20]

[DOR: 20.1001.1.20084439.1388.4.4.1.1]

مقدمه

بسياري از گياهان خانواده لگوم مانند يونجه داراي ژنوم بزرگ ويلي پلوئيد و همچنين محتوي DNA تكراري زياد و سيستم گرده افشاني باز (دگرگرده افشان) هستند. به اين دلايل استفاده از اين گياهان در تشريح بيولوژي خانواده لگوم دشوار است (۱). در دهه‌هاي اخير، استفاده از گياه *Medicago truncatula* به عنوان گياه مدل براي مطالعات ژنتيكي خانواده لگوم مورد توجه قرار گرفته است. دلايل انتخاب اين گياه به عنوان مدل، شامل ژنوم ديپلوئيد كوچك، طبيعت خودگرده افشان، دوره كوتاه تجديد نسل و همچنين قابليت توليد و تكثير آسان از طريق كشت بافت است (۳،۲). علاوه بر اين، وجود نقشه ژنتيكي و تعيين توالي اكثر ژنوم (خصوصا تعيين توالي نواحي اشباع از ژن) و وجود تعداد فراوان ESTs[1] براي اين گياه از دلايل ديگر انتخاب آن به عنوان مدل براي خانواده لگوم مي‌باشد (۵،۴).

بيماري پژمردگي باكتريايي حاصل از پاتوژن خاكزي *Ralstonia solanacearum* شايع در مناطق استوايي، نيمه استوايي و ديگر نواحي گرم، كشت بيش از۲۰۰ گونه گياهي شامل بسياري از گياهان زراعي را محدود و با مشكل مواجه كرده است (۶). در گياه گوجه فرنگي، مقاومت بر عليه اين پاتوژن بصورت چند ژني گزارش شده است (۷) و در گياه آرابيدوپسيس تاليانا يک تک ژن مقاومت به اين پاتوژن را كنترل مي‌كند (۸). در گياه *M. truncatula* از مطالعات برروي جمعيت لاين‌هاي اينبرد نوتركيب[2] حاصل از تلاقي بين دو والد حساس (A17) و مقاوم (F8300.5)، يک QTL بزرگ اثر بر روي كروموزوم شماره ۵ كه به ميزان ۳۸/۵% از تغييرات فنوتيپي مقاومت به پاتوژن *R. solanacearum* را توجيه مي‌كرد گزارش شده است (۹).همچنين دو QTL كوچک اثر مرتبط با مقاومت به همين پاتوژن باكتريايي بر روي كروموزوم‌هاي شماره ۳ و۷ نيز گزارش شده است (۹). اين QTL ها تعيين توالي نشده و ژن مقاومت بر عليه باكتري شناخته نشده است. همچنين تاكنون اطلاعاتي در مورد ژن‌هاي پايين دست ژن مقاومت و مكانيزم مقاومت برعليه اين پاتوژن در گياه *M. truncatula* گزارش نشده است.

اخيرا بكارگيري تكنيک‌هاي ترانسكريپتوميكس و پروتئوميكس باعث شده است كه محققين بتوانند مكانيزم‌هاي دفاعي را در گياهان حساس و مقاوم بطور همزمان بررسي نمايند. مقايسه الگوي ترانسكريپتوم گياه تنباكو برعليه سويه‌هاي بيماريزا و غيربيماريزاي *R. solanacearum* با گياهان كنترل از طريق DD-RT-PCR نشان داد كه بيان برخي از ژن‌هاي دفاعي وهمچنين ژن‌هاي وابسته به مسير انتقال پيام بطور اختصاصي برعليه سويه‌هاي بيماريزا و غيربيماريزا تغيير يافتند (۱۰).

تاكنون دو مطالعه برروي پاسخ گياهان نسبت به پاتوژن *R. solanacearum* از طريق پروتئوميكس انجام شده است. مطالعه اول كه توسط افروز و همكاران در سال (۲۰۰۹) انجام گرفته و نشان دادند كه بيان برخي از پروتئين‌هاي چپروني[3] و همچنين آنتي ژن غشايي[4] در بافت برگي گياه گوجه‌فرنگي مقاوم به پاتوژن *R. solanacearum* افزايش معني‌داري داشتند درصورتي كه اين پروتئين‌ها در گياه حساس گوجه‌فرنگي نسبت به *R. solanacearum* تغيير بيان معني‌داري نداشتند (۱۱). از طرفي ديگر، داهال و همكاران (۲۰۰۹) با مقايسه الگوي پروتئيني بافت ساقه گياهان حساس و مقاوم گوجه‌فرنگي برعليه *R. solanacearum* نشان دادند كه پاسخ‌هاي دفاعي درهردوي گياهان حساس و مقاوم در بافت‌هاي آوندي نسبت به پاتوژن اتفاق مي‌افتد و اختلاف بين گياهان حساس ومقاوم در زمان و ميزان بيان پروتئين‌هاي دفاعي مي‌باشد. يعني زمان بيان اين پروتئين‌ها در گياهان مقاوم سريعتر از گياهان حساس مي‌باشد و همچنين ميزان بيان آنها در گياهان مقاوم بيشتر از گياهان حساس است (۱۲).

در مطالعه دوم برروي گياه *M. truncatula* نسبت پاتوژن قارچي *Aphanomyces euteiches* (۱۳) و همچنين پارازيت *Orobanche crenata* (۱٤) ميزان پروتئين دفاعي PR10، پروتئين‌هاي فعال در

[1] -Express sequence tags

[2] - Recombinant inbred lines

[3] - Chaperones

[4] -Membrane antigen

[Downloaded from mail.mg.genetics.ir on 2026-11-20]

[DOR: 20.1001.1.20084439.1388.4.4.1.1]

مسيرهاي اكسيداسيون و احيا مثل گلوتاتيون- S- ترانسفراز و انتقال پيام مثل cyclophilin افزايش بيان داشتند.

بنابراين گياهان حساس قادر هستند برخي از پاسخ‌هاي دفاعي را نسبت به پاتوژن‌هاي بيماريزا از خود نشان دهند ولي اكثر مطالعات بر روي واكنش گياهان مقاوم نسبت به پاتوژن‌ها صورت گرفته است و تا كنون پژوهشي در ارتباط با عكس العمل گياهان حساس نسبت به پاتوژن‌ها گزارش نشده است.در پژوهش حاضر، جهت بررسي تغيير بيان ژن‌ها در سطح پروتئين و mRNA از طريق مطالعات پروتئوميكس و ترانسكريپتوميكس در بافت ريشه گياه مقاوم و همچنين حساس *M. truncatula* بر عليه باكتري بيماريزاي *R. solanacearum* آزمايشاتي صورت گرفت. بدين منظور محيط كشت مايعي طراحي شد كه مقدار زيادي بافت ريشه براي مطالعات بعدي ترانسكريپتوم و پروتئوم توليد مي‌كرد. پروتئين‌هايي با بيان متفاوت در بافت ريشه گياهان حساس و مقاوم پس از تلقيح با باكتري نسبت به گياهان كنترل از طريق الكتروفورز در ژل‌هاي دو بعدي و همچنين طيف سنجي جرمي شناسايي شدند. سپس تغيير بيان ژن‌هاي توليد كننده اين پروتئين‌ها در سطح mRNA مورد بررسي قرارگرفتند. ما نشان داديم كه تعدادي از ژن‌هاي دفاعي و همچنين ژن‌هاي مسير انتقال پيام در گياه *M. truncatula* برعليه پاتوژن *R. solanacearum* مداخله مي‌كنند.

مواد و روش‌ها

- مواد گياهي و شرايط رشد:

مواد گياهي شامل جمعيت RILs (نسل F_9) حاصل از تلاقي بين والد A17 (به عنوان والد حساس به باكتري بيماريزايي (*R. solanacearum*) و والد F83005.5 (به عنوان والد مقاوم به باكتري بيماريزايي *R. solanacearum*) بود. اين جمعيت گياهي در موسسه تحقيقاتي INRA و دانشگاه INP-ENSAT واقع در فرانسه تهيه شده است (۹). از حدود ۱۳۰ لينه نسل F_9 جمعيت RILs پس از تلقيح با باكتري، ۲۰ لينه شامل ۱۰ لينه مقاوم و ۱۰ لينه حساس به باكتري بيماريزا براساس آزمايشات مورفولوژيک (علائم ظاهري) انتخاب شدند. علايم بيماري توسط وايلو و همكاران (۲۰۰۷) از ۱ تا ۴ شماره گذاري شدند (۹). در اين فرايند، ابتدا برگ‌ها به دورخودشان مي‌پيچند (شاخص ۱)، سپس دمبرگ‌ها به پايين خم مي‌شوند (شاخص ۲)، در ادامه توسعه بيماري برگ‌ها زرد مي‌شوند (شاخص ۳) و در نهايت كل گياه از بين رفته و خشک مي‌شود (شاخص ۴). درکل ۹۶۰ بذر شامل ۴۸ بذر براي هر لينه و در نتيجه ۴۸۰ بذر براي لينه‌هاي حساس و ۴۸۰ بذر براي لينه‌هاي مقاوم استفاده گرديد. براي شكستن خواب بذرها سطح آنها با استفاده از كاغذ سمباده تيمار گرديد و در محلول هيپوكلريت سديم ۱۲ درصد به مدت ۱/۵ دقيقه ضد عفوني شدند. پس از ۷ بار آب‌شويي بذرها به مدت يک ساعت در آب استريل غوطه‌ور شدند. سپس بذرها را در سطح آگار ۰.۸(w/v) درصد ظروف پيتري پخش كرده و براي جوانه زني به مدت ۳ روز در ۴ درجه سانتي گراد و سپس ۲ روز در ۱۴ درجه سانتي گراد در محيط تاريک قرار داده شدند. بذرهاي جوانه زده از ظروف پتري آگاردار به محيط كشت مايع فارائوس (۱۵) به مدت۱۰ روز در شرايط ۱۶ ساعت روشنايي در ۲۳ درجه و ۸ ساعت تاريكي در ۲۰ درجه سانتي گراد و شدت نور μ mol m^{-2} ۱۷۰ s^{-1} منتقل شدند.

مراحل تلقيح گياهان با باكتري بيماريزا:

مراحل تلقيح گياهان بر اساس روش وايلو و همكاران (۲۰۰۷) انجام شد (۹). گياهچه‌هاي هر دو گروه حساس و مقاوم پس از ۱۰ روز رشد در محيط كشت مايع فارائوس از قسمت انتهايي ريشه زخم و با باكتري بيماريزاي *R. solanacearum* نژاد GMI1000 با غلظت 10^8 كلوني باكتري در يک ميلي ليتر آب استريل به مدت ۳۰ دقيقه تلقيح شدند. سپس گياهان از محيط تلقيح به مدت ۱۰ دقيقه به آب استريل منتقل و به دنبال آن مجددا به محيط كشت مايع فارائوس در شرايط ۱۲ ساعت روشنايي و ۱۲ ساعت تاريكي و دماي ۲۸ درجه سانتي گراد با شدت نور μ mol m^{-2} s^{-1} ۱۰۰ منتقل شدند. گياهان كنترل همانند گياهان بالا ولي با حذف باكتري از مايع تلقيح تيمار شدند. نمونه‌برداري از ريشه گياهان در يک و سه روز پس از تلقيح انجام گرديد. جهت حذف اختلافات زمينه ژنتيكي گياهان حاصل از جمعيت RILs،

[Downloaded from mail.mg.genetics.ir on 2026-11-20]

[DOR: 20.1001.1.20084439.1388.4.4.1.1]

بافت‌هاي ۱۰ لینه مقاوم با هم و ۱۰ لینه حساس با هم (و به طور جداگانه براي هر گروه) مخلوط شدند. نمونه‌برداري از گیاهان در ۳ تکرار بیولوژیک انجام گردید.

استخراج پروتئین و تعیین کمیت آن:

استخراج پروتئین از نمونه‌ها بر اساس روش دامروال وهمکاران (۱۹۸۶) انجام شد (۱۶). بر این اساس حدود ۲۰۰ میلي گرم از بافت ریشه به کمک نیتروژن مایع در هاون چیني پودر شد و به آن یک میلي لیتر محلول استن سرد حاوي ۱۰% TCA و ۰/۷ درصد مرکاپتواتانل اضافه گردید و در ۰۲- درجه سانتي گراد به مدت یک شبانه روز قرار گرفتند. سپس نمونه‌ها در ۲۰۰۰۰ ×g به مدت ۲۰ دقیقه و در ۴ درجه سانتي گراد سانتریفوژ شدند. روشناور نمونه‌ها حذف و پلیت حاصل بوسیله استن سرد حاوي ۰/۷ درصد مرکاپتواتانل و یک میلي مولار PMSF شستشو شدند. پلیت‌هاي نهایي در فریزر ۸۰- درجه سانتي گراد براي آزمایشات بعدي نگهداري شدند.

در مرحله بعد از هر نمونه ۱۰ میلي گرم برداشته و به روي آن ۳۰۰-۳۵۰ میکرولیتر محلول (2% SDS, 30 mM Tris-Cl pH 8.5, 60 Mm DTT) اضافه کرده و به مدت ۱۰ دقیقه در ۱۰۰ درجه سانتي گراد حرارت داده تا پلیت حل شود. محلول حاصل در ۱۲۰۰۰ ×g به مدت ۵ دقیقه سانتریفوژ شده و ۲۰۰ میکرولیتر از روشناور حاوي پروتئین به تیوب ۱/۵ میلي لیتر تازه منتقل شد. براي حذف SDS باقیمانده در محلول پروتئین از کیت 2D clean up (Amersham Bioscience) استفاده شد و پروتئین موجود در محلول براساس دستورالعمل کیت رسوب داده شد. پلیت نهایي حاوي پروتئین خالص شده در ۳۳۰ میکرولیتر بافر لیزکننده (7M urea, 2M thio urea, 4%(w/v) CHAPS, 0.7% ASB14, 1% (v/v) carrier ampholytes pH 3-10, 65mM DTT, a trace of bromophenol blue) حل شد. براي حل کردن پلیت در بافر لیزکننده، نمونه‌ها به مدت ۳۰ دقیقه در ۳۰ درجه سانتي گراد در ۱۵۰ دور در دقیقه تکان داده شدند. سپس نمونه‌ها در ۲۰۰۰۰ ×g به مدت ۱۵ دقیقه سانتریفوژ شدند و ۳۰۰ میکرولیتر از روشناور حاوي پروتئین محلول به ویال تازه منتقل شده و در ۲۰- درجه سانتي گراد نگهداري گردید. براي سنجش مقدار پروتئین از کیت 2-D Quant kit (Amersham Bioscience) براساس دستورالعمل کیت استفاده گردید.

الکتروفورز دوبعدي و رنگ آمیزي ژل:

نوارهاي خشک IPG (18 cm 3-10 NL, Immobline dry strip, Bio-Rad) در ۳۰۰ میکرولیتر بافر لیزکننده، حاوي یک میلي گرم پروتئین در دستگاه IPGphor (Amersham Bioscience) در ۲۰ درجه سانتي گراد بدون جریان الکتریکي (passive form) به مدت ۲ ساعت قرار گرفتند. سپس دستگاه فعال شده (active form) و با ۵۰ ولت در ۲۰ درجه سانتي گراد به مدت ۱۲ ساعت عمل rehydration ادامه پیدا کرد. سپس براي تثبیت لکه‌هاي پروتئین (focusing) از برنامه زیر در دستگاه IPGphor استفاده شد: ۳۰۰ ولت به مدت ۲ ساعت، ۵۰۰ ولت به مدت ۲ ساعت، ۱۰۰۰ ولت به مدت ۲ ساعت و افزایش تدریجي ولتاژ تا ۸۰۰۰ ولت در عرض ۵ ساعت و نهایتا در ۸۰۰۰ ولت به مدت ۶۰۰۰۰ ولت ساعت تنظیم شد. نوارهاي IPG پس از الکتروفورز بعد اول به مدت ۱۵ دقیقه در بافر اشباع (6M urea, 50 mM Tris-Cl pH 8.8,) 30% (v/v) glycerol, 2% (w.v) SDS, 1% DTT, a trace of bromophenol blue) قرار گرفته و سپس به مدت ۱۵ دقیقه دیگر در همان بافر ولي با جایگزیني iodoacetamide ۲.۵ درصد به جاي DTT قرار گرفتند. پس از آن نوارهاي IPG به بالاي ژل SDS-PAGE با غلظت ۱۲.۵ درصد اکریل آمید منتقل شده و در جریان ثابت ۱۵ میلي آمپر به مدت ۳۰ دقیقه و سپس ۴۰ میلي آمپر به مدت ۵ ساعت براي دو ژل SDS-PAGE در ۲۰ درجه سانتي گراد الکتروفورز شدند. در مرحله بعد ژل‌هاي SDS-PAGE در محلول رنگ‌آمیزي حاوي colloidal CBB G-250 رنگ شدند (۱۷). براي اینکار ژل‌ها ابتدا در محلول تثبیت (40% methanol, 10% acetic acid) به مدت یک ساعت قرار گرفتند و پس از آن به مدت ۳۰ دقیقه با آب دوبار تقطیر شده و سپس به مدت ۳۰ ساعت در محلول رنگ (10% phosphoric acid, 10% (w/v) ammonium sulfate, 20% methanol, 0.12% (w/v) CBB G-250) قرار گرفتند. ژل‌ها پس از رنگ‌آمیزي، توسط اسکنر (Epson, Japan) epson perfection 4990 اسکن شده و از نرم افزار Image master 2D platenium ver.6 (Amersham

[Downloaded from mail.mg.genetics.ir on 2026-11-20]

[DOR: 20.1001.1.20084439.1388.4.4.1.1]

(Bioscience براي تجزيه و تحليل تصاوير استفاده گرديد. نسبت اندازه لكه‌ها در بين ژل‌ها براساس درصد حجم به كمک نرم افزار محاسبه گرديد. آزمايشات الكتروفورز دوبعدي در سه تكرار بيولوژيک انجام شدند.

شناسايي لكه‌هاي پروتئين از طريق طيف سنجي جرمي MALDI-MS و ESI-MS/MS:

لكه‌هاي ژل حاوي پروتئين‌هاي مرتبط با مقاومت به باكتري بيماريزا پس از مقايسه ژل‌ها از روي ژل‌ها بريده شدند و رنگ كوماسي بوسيله تيمار لكه‌ها با محلول استونيتريل و ۲۵ ميلي مولار بي كربنات آمونيوم به نسبت‌هاي مساوي (v/v)۱:۱ حذف شد و هر ۳۰ دقيقه اين محلول تعويض گرديد تا رنگ كوماسي از لكه‌هاي ژل حذف شود. سپس لكه‌هاي ژل با سانتريفوژ تحت شرايط خلا خشک شدند. به لكه‌هاي خشک شده ۲۰ ميكروليتر بي‌كربنات آمونيوم ۲۵ ميلي مولار اضافه گرديد و در پي آن به اين محلول آنزيم تريپسين (Sequencing grade modified trypsin, Promega) با غلظت ۱۰ نانوگرم در هر ميكروليتر واكنش اضافه شد و به مدت ۲۴ ساعت در ۳۷ درجه سانتي گراد انكوبه شدند. جهت خاتمه واكنش هضم آنزيمي، ۸۰ ميكروليتر محلول (10% formic acid, 62.5% acetoniteile, 27.5% H_2O) به ۲۰ ميكروليتر واكنش آنزيمي اضافه گرديد. روشناور حاوي پروتئين هضم شده از پليت جدا و به دو سهم ۲۰ و ۸۰ درصدي به دو ويال جداگانه تقسيم شدند و سپس توسط سانتريفوژ تحت شرايط خلا خشک شدند. ويال سهم ۲۰ درصدي براي شناسايي پروتئين هضم شده از طريق طيف سنجي جرمي از نوع (Applied Biosystem) MALDI-MS و ويال سهم ۸۰ درصدي براي شناسايي پروتئين از طريق طيف سنجي جرمي از نوع (Applied Biosystem) ESI-MS/MS استفاده شدند.

در طيف سنجي جرمي ESI-MS/MS از يک كروماتوگرافي مايع (LC) كه به يک دستگاه طيف سنجي جرمي Q-Trap جفت شده است، براي تعيين توالي پروتئين هضم شده استفاده گرديد. نتايج حاصل از طيف سنجي جرمي ESI-MS/MS به كمک نرم افزار MASCOT با پروتئين‌هاي موجود در بانک‌هاي (Viridiplantae) sport-trembl، (All species) sport-trembl و *M. truncatula* Gene Index (MtGI) مقايسه شدند و براي شناسايي پروتئين استفاده گرديد. پارامترهاي مورد استفاده براي نرم افزار MASCOT شامل: carbamidomethyl (C) به عنوان تغيير ثابت پروتئين و deamidated (NQ) و oxidation (M) به عنوان تغييرات متغير به نرم افزار معرفي شدند.

طراحي آغازگر:

بعد از شناسايي پروتئين- ژن‌ها در بانک MtGI، آغازگرهاي اختصاصي براساس توالي mRNA يا cDNA ژن‌هاي مرتبط در ناحيه 3' UTR (نواحي از mRNA كه ترجمه نمي‌شود) به كمک نرم افزار primer express v.2 (Applied Biosystem) طراحي گرديد كه در طراحي آغازگرها به خصوصيات لازم براي q-RT-real time PCR مد نظر قرار گرفت. همچنين توالي آغازگرها بر عليه بانک‌هاي ژني blast شد تا از اختصاصي بودن آنها نسبت به ژن‌هاي هدف اطمينان حاصل شود.

استخراج RNA و real time q-RT-PCR:

استخراج RNA به وسيله محلول Trizol (Invitrogen) و بر اساس دستورالعمل كيت انجام گرفت. حدود ۲۰۰ ميلي گرم از بافت ريشه گياه به كمک ازت مايع در هاون چيني پودر شده و سپس يک ميلي ليتر محلول Trizol (Invitrogen) به آنها اضافه شد. پس از ۱۵ ثانيه ورتكس نمونه‌ها در ۳۷ درجه سانتي گراد به مدت۱۵ دقيقه انكوبه شدند. سپس ۲۰۰ ميكروليتر كلروفورم به نمونه‌ها اضافه گرديد و ۱۵ ثانيه ديگر ورتكس شدند ودر g× ۱۲۰۰۰ به مدت ۱۵ دقيقه در ۴ درجه سانتي گراد سانتريفوژ شدند. فاز آبي به ويال تازه منتقل و هم حجم آن ايزوپروپانل اضافه گرديد و به مدت ۱۵ دقيقه در يخ قرار گرفتند. نمونه‌ها درg× ۸۰۰۰ به مدت ۲۰ دقيقه در ۴ درجه سانتي گراد سانتريفوژ شدند. روشناور نمونه‌ها حذف و پليت آنها كه حاوي RNA بود با يک ميلي ليتر الكل اتانل ۷۰% شستشو شد و پس از ۵ دقيقه مجدداً به مدت ۱۰ دقيقه در g× ۸۰۰۰ و در ۴ درجه سانتي گراد سانتريفوژ شدند. پليت حاصله در داي آزمايشگاه خشک گرديد و سپس ۵۰

[Downloaded from mail.mg.genetics.ir on 2026-11-20]

[DOR: 20.1001.1.20084439.1388.4.4.1.1]

میکرولیتر آب استریل عاري از RNase برروي آنها اضافه شد. یک میکرولیتر از محلول حاوي RNA آلوده به DNA جهت تعیین غلظت به کمک دستگاه Nanodrap (Germany) استفاده شد. یک میکروگرم RNA جهت تیمار با DNase (Promega) استفاده شد. جهت تعیین کیفیت RNA استخراج شده از کیت Agilent RNA 600 Nano Kit از طریق دستگاه Agilent 2100 Bioanalyzer (Agilent technologies, Massy, France) استفاده شد. سپس براي تعیین کمیت RNA عاري از DNA از دستگاه nanodrap استفاده گردید. یک میکروگرم RNA عاري از DNA براي واکنش RT (Promega) به کمک پرایمر پلي T ($Oligo(dt)_{15}$) براساس دستورالعمل کیت استفاده شد.

واکنش q-RT-PCR در حجم ۱۰ میکرولیتر حاوي ۵ نانوگرم cDNA، ۰/۶ میکرومولار آغازگرهاي جلورونده و پس رونده و ۵ میکرولیتر SYBER green PCR master mix (Applied Biosystem) انجام گردید. برنامه ترموسایکلر در سه مرحله به شرح زیر بود: مرحله اول در یک سیکل شامل ۵۰ درجه سانتي گراد به مدت ۲ دقیقه و ۹۵ درجه سانتي گراد به مدت ۱۰ دقیقه، مرحله دوم شامل ۴۰ سیکل، ۹۵ درجه سانتي گراد به مدت ۱۵ ثانیه، ۶۰ درجه سانتي گراد به مدت یک دقیقه و مرحله سوم (dissociation step) شامل ۹۵ درجه سانتي گراد به مدت ۱۵ ثانیه، ۶۰ درجه سانتي گراد به مدت ۱۵ ثانیه و ۹۵ درجه سانتي گراد به مدت ۱۵ ثانیه. تکثیر نمونه‌ها در پلیت ۳۸۴ خانه در دستگاه ترموسایکلر ABI 7900 (Applied Biosystem) انجام گردید و داده‌هاي PCR از طریق نرم افزار (Applied Biosystem) SDS 2.2 تجزیه و تحلیل شدند. براي نرمال کردن داده‌ها از آغازگرهاي استاندارد که cDNA مرتبط با ژن elongation facctor 1α را تکثیر مي‌کنند، استفاده شد. محاسبه بازدهي PCR از سه طریق انجام شد: ۱- از cDNA تمام تیمارها مخلوطي در سه غلظت یک، ۵ و ۱۰ نانوگرم درسه تکرار جهت انجام q-RT-PCR تهیه شد و سپس بازدهي PCR به کمک نرم افزار SDS 2.2 براي هر آغازگر براساس فرمول $E=10^{slop}+1$ محاسبه گردید. ۲- بازدهي PCR براي هر آغازگر و براي هر cDNA مستقل از طریق نرم افزار LinReg v.4 محاسبه گردید. ۳- فرض برابر بودن بازدهي PCR براي آغازگرهاي ژن‌هاي هدف و آغازگرهاي استاندارد مورد ارزیابي قرار گرفت (Applied Biosystems User Bulletin #2, http://docs.appliedbiosystems.com/search). آزمایشات q-RT-PCR در سه تکرار بیولوژیک و سه تکرار تکنیکي انجام گردید. جدول ANOVA براي داده‌هاي q-RT-PCR در قالب آزمایش فاکتوریل کاملاً تصادفي تهیه و تجزیه و تحلیل شدند.

نتایج

تعیین شاخص بیماریزایي در گیاهان حساس و مقاوم *M. truncatula*

از دو دامنه مقاوم و حساس یک نسل F_9 جمعیت RILs حاصل از تلاقي دو والد حساس و مقاوم (مراجعه به مواد و روش ها) پس از ارزیابي فنوتیپي گیاهان بر علیه باکتري بیماریزاي *R. solanacearum*، ده لینه مقاوم و حساس انتخاب شدند. علایم بیماري در گیاهان حساس از روز سوم ظاهر شدند (شکل ۱). علایم بیماري از ۱ تا ۴ بر اساس روش وایلو و همکاران (۲۰۰۷) شماره گذاري شدند (۹) و این علایم در بین ۳ تا ۴۱ روز پس از تلقیح با باکتري در گیاهان حساس قابل شناسایي بودند (شکل ۱). شکل یک نشان مي‌دهد که باکتري بیماریزا در گیاه حساس قادر به تولید علایم پیشرفته بیماري تا شاخص ۴ یا مرگ کامل گیاه است ولي گیاهان مقاوم حداکثر تا علامت شماره یک را از خود نشان مي دهند.

نتایج آزمایشات الکتروفورز دوبعدي

براي شناسایي تفاوت بیان پروتئین‌هاي مرتبط با مقاومت به پاتوژن باکتریایي، ریشه ۱۰ گیاه حساس و مقاوم تلقیح شده با باکتري به همراه گیاهان کنترل (تیمار گیاهان در آب استریل) در دو مرحله روزهاي اول و سوم پس از تلقیح نمونه‌گیري و بطور جداگانه براي گیاهان حساس و مقاوم با هم مخلوط شدند. مقدار ۲۰۰ میلي گرم از بافت‌ها، براي استخراج پروتئین استفاده شد. نقشه پروتئوم (2D-PAGE) گیاهان حساس و مقاوم در دو شرایط تلقیح و کنترل و دو مرحله نمونه‌گیري با هم مقایسه شدند.

[Downloaded from mail.mg.genetics.ir on 2026-11-20]

[DOR: 20.1001.1.20084439.1388.4.4.1.1]

لکه‌هاي تکرارپذير نقشه پروتئوم هر گروه (حدود ۱۰۰۰ لکه واضح در هر ژل) در سه تکرار بيولوژيک با استفاده از نرم افزار Image master 2D platenium ver.6 در دو بعد براي خصوصيات p*I* از محدوده ۳ تا ۱۰ و وزن مولکولي از محدوده ۱۰ تا ۱۰۰ کيلودالتون قابل مشاهده هستند. مقايسه لکه‌ها در بين ژل‌ها پس از نرمال‌سازي به کمک همين نرم افزار به دو صورت انجام گرفت:

۱- مقايسه لکه‌ها در بين ژل‌هاي گياهان تلقيح شده با گياهان کنترل (شکل‌هاي ۲ تا ۷) نشان داد که در هر دو گروه گياهان حساس و مقاوم در نمونه‌گيري روز اول پس از تلقيح و در بافت ريشه، بيان پروتئين‌هاي شماره ۶، ۷، ۸ و ۱۱ افزايش يافته است (شکل ۲ و ۳) که افزايش بيان پروتئين‌هاي شماره ۷ و ۸ در گياه مقاوم بيشتر از حساس و پروتئين‌هاي شماره ۶ و ۱۱ در گياه حساس بيشتر از مقاوم بود (جدول ۱). در نمونه‌گيري روز سوم پس از تلقيح، در بافت ريشه بيان پروتئين شماره ۹ در هر دو گياهان حساس و مقاوم نسبت به گياهان شاهد (mock-inoculation) افزايش يافت (شکل‌هاي ۵ و ۶). افزايش بيان لکه شماره ۹ در گياهان مقاوم بيشتر از گياهان حساس بود (جدول ۱). همچنين بيان پروتئين شماره ۱۰ در گياهان مقاوم پس از تلقيح نسبت به گياهان شاهد افزايش يافت (شکل ۵ و ۷، جدول ۱)، ولي بيان اين پروتئين در گياهان حساس، پس از تلقيح نسبت به گياهان شاهد تغيير پيدا نکرد (شکل ۶، جدول ۱).

۲- از طرف ديگر مقايسه لکه‌ها در بين ژل‌هاي گياهان حساس و مقاوم پس از تلقيح نشان داد که در نمونه‌گيري روز اول و در بافت ريشه پروتئين‌هاي شماره ۲، ۳، ۴ و ۵ فقط در گياهان مقاوم وجود دارند و در گياهان حساس اين پروتئين‌ها ديده نمي‌شوند (شکل ۴، جدول ۱) .

در مجموع از ۱۱ لکه مورد مطالعه در اين آزمايش ۶ لکه بصورت کمي در بين دو شرايط تلقيح وکنترل تغيير کردند که شامل لکه‌هاي ۶، ۷، ۸، ۹، ۱۰ و ۱۱ در شکل‌هاي ۲ تا ۷ بود (جدول ۱). لکه‌هاي شماره ۱، ۲ و۳ که هر سه پروتئين peptidyl-prolyl cis-trans isomerase هستند که لکه شماره يک با p*I* 8.5 و وزن مولکولي ۱۷/۳ کيلو دالتون در موقعيت يکساني در نقشه پروتئوم هر دو گياهان مقاوم و حساس قرار دارد ولي دو لکه ۲ و۳ فقط در گياه مقاوم با p*I* هاي به ترتيب ۸ و ۷/۵ بصورت position shift نسبت به لکه شماره يک به طرف pH اسيدي تغيير مکان کرده‌اند. لکه‌هاي ۴ و ۵ هر دو پروتئين inhibitor ST1-like (Proteinase inhibitor 20) kunitz با p*I* هاي به ترتيب ۸ و ۷/۵ فقط درگياه مقاوم موجود هستند (شکل ۴ و جدول ۱).

نتايج حاصل از طيف سنجي جرمي

تعداد ۲۴ لکه با بيان متفاوت از مقايسه نقشه پروتئوم گياهان مقاوم و حساس در دو شرايط تلقيح و کنترل و روزهاي نمونه‌گيري اول و سوم انتخاب و ابتدا از طريق MALDI-TOF اقدام به شناسايي پروتئين‌ها شد و پروتئين‌هايي که از طريق انگشت‌نگاري جرمي (Mass finger printing) قابل شناسايي نبودند از طريق ESI-MS/MS بخشي از آنها تعيين توالي گرديد. براي اطمينان از تکرارپذيري پروتيئن‌هاي شناسايي شده توسط طيف سنجي جرمي، آزمايشات برروي لکه‌هاي مشابه در دو تکرار از ۳ تکرار بيولوژيک انجام شد که در هر دو تکرار نتايج طيف سنجي جرمي کاملاً مشابه هم بودند. نتايج طيف سنجي جرمي نشان داد که ۱۱ لکه از ۲۴ لکه‌ها مرتبط با پروتئين‌هاي گياه *M. truncatula*، ۶ پروتئين مرتبط با پروتئين‌هاي باکتري *R. solanacearum*، ۲ پروتئين به عنوان کراتين و ۵ پروتئين بصورت ناشناخته باقي ماندند (جدول‌هاي ۱ و ۲). همچنين با مقايسه نتايج ESI-MS/MS برعليه بانک اطلاعاتي گياه *M. truncatula* (MtGI) ژن‌هاي مرتبط با اين پروتئين‌ها شناسايي و محل کروموزومي آنها مشخص گرديدند (جدول ۱). براي لکه‌هايي که مشخصاتي براي آنها در بانک اطلاعاتي *M. truncatula* وجود نداشت ژن‌هاي مرتبط به اين لکه‌ها (پروتئين‌ها) از گونه‌هاي ديگر گياهي در بانک اطلاعاتي NCBI شناسايي ولي محل کروموزومي آنها در گياه *M. truncatula* مشخص نگرديد (جدول ۱).

نتايج Real time q-RT-PCR

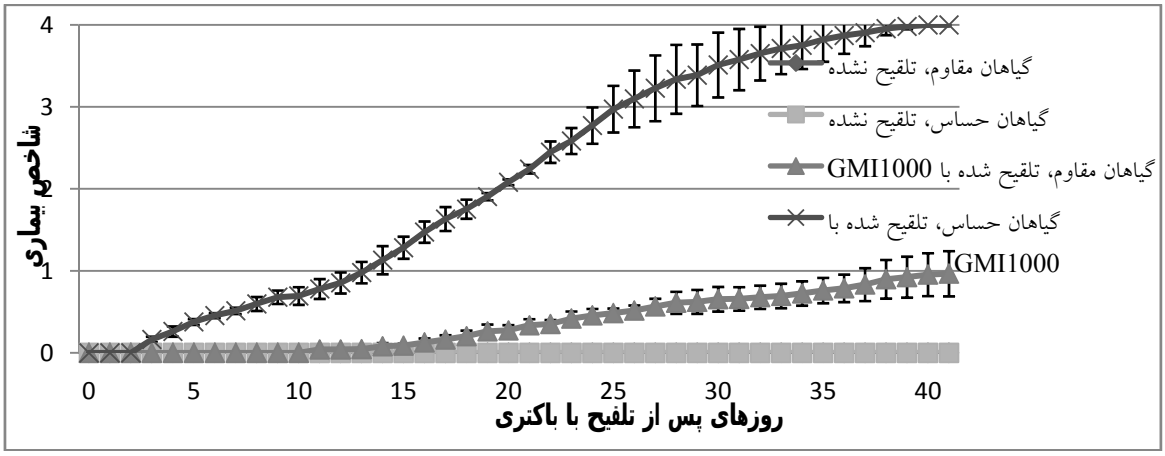
پس از تهيه cDNA آزمايش q-RT-PCR بوسيله پرايمرهاي طراحي شده (جدول ۳) بر اساس توالي ژن‌هاي شناسايي شده از

[Downloaded from mail.mg.genetics.ir on 2026-11-20]

[DOR: 20.1001.1.20084439.1388.4.4.1.1]

طریق آزمایشات پروتئوم انجام گرفت. براي بررسي معني‌دار بودن اختلاف بیان ژن‌ها در سطح mRNA جدول تجزیه واریانس برروي میانگین داده‌هاي حاصل از نتایج q-RT-PCR تهیه شد. نتایج q-RT-PCR نشان داد که تغییر بیان ژن‌ها در سطح mRNA را بطورکلي مي‌توان به پنج گروه طبقه‌بندي کرد. در گروه اول ژن‌هاي peptidyl-prolyl cis-trans isomerase و Kunitz trypsin protease inhibitor قرار دارند که میزان بیان این ژن‌ها در گیاهان حساس و مقاوم پس از تلقیح با باکتري نسبت به گیاهان شاهد تغییر بیان معني‌داري نشان نداند (جدول ۴). در گروه دوم، ژن peroxidase قراردارد که پس از تلقیح در هر دو گروه گیاهان مقاوم و حساس و در هر دو dpi[5] بیان این ژن افزایش یافت و این افزایش بیان در بین گیاهان حساس و مقاوم و در بین دو dpi اختلاف معني‌داري نداشتند (جدول ۴). در گروه سوم، ژن‌هاي PR5، cold stress response و Proteinase inhibitor 20 قرار دارند که بیان آن‌ها در هر دو گروه گیاهان مقاوم و حساس و در هر دو dpi پس از تلقیح با باکتري افزایش یافته است. به طوري که افزایش بیان ژن‌هاي PR5، cold stress response درگیاهان مقاوم در dpi3 بیشتر از dpi1 بود ولي در گیاهان حساس تغییر معني‌دار نداشت. از طرف دیگر افزایش بیان ژن Proteinase inhibitor 20 درگیاهان مقاوم بین دوdpi تغییر معني‌داري نداشت ولي در گیاهان حساس افزایش بیان این ژن در dpi3 کمتر از dpi1 بود (جدول ۴). در گروه چهارم، ژن PR10 قرار دارد که پس از تلقیح گیاهان با باکتري در dpi1 بیان این ژن در هر دو گیاهان حساس و مقاوم افزایش یافت و این افزایش بیان در گیاهان مقاوم در dpi3 به طور معني‌داري بیشتر از dpi1 شد ولي در گیاهان حساس مقدار بیان این ژن به اندازه گیاهان شاهد تنزل پیدا کرد (جدول ۴). در گروه پنجم، ژن pprg2 قرار دارد که پس از تلقیح گیاهان با باکتري در dpi1 بیان این ژن در گیاهان حساس افزایش معني‌داري داشت ولي در dpi3 بیان این ژن نسبت به گیاهان شاهد تغییر معني‌داري نداشت. در گیاهان مقاوم بر عکس، در dpi1 بیان این ژن نسبت به گیاهان شاهد تغییري نداشت ولي درdpi3 بیان این ژن افزایش معني‌داري پیدا کرد (جدول ۴).

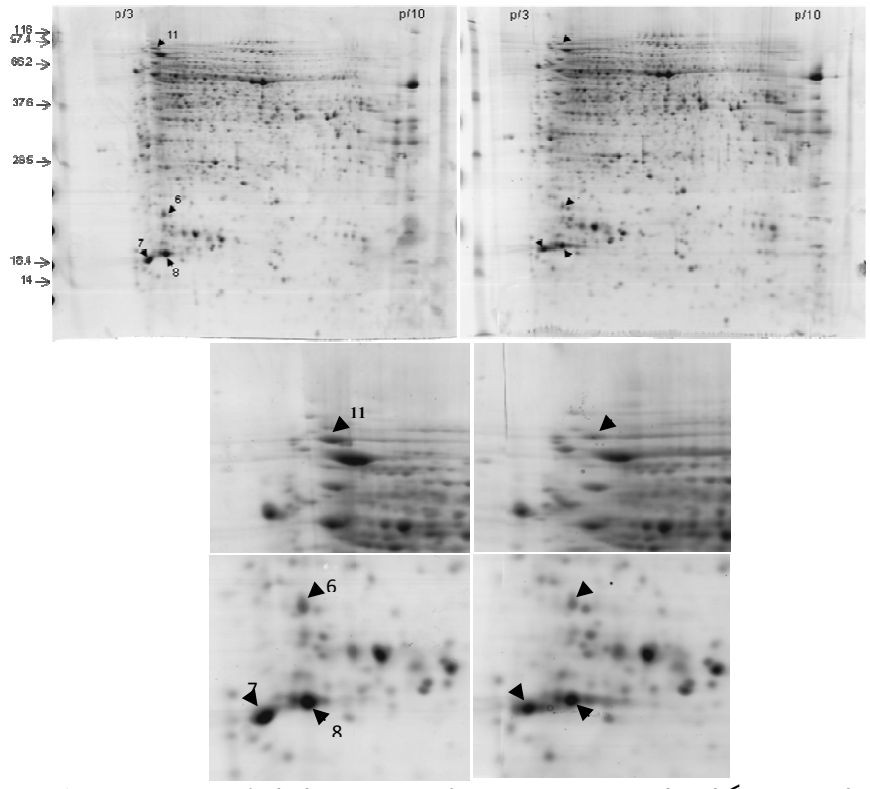
[5] -days post inoculation



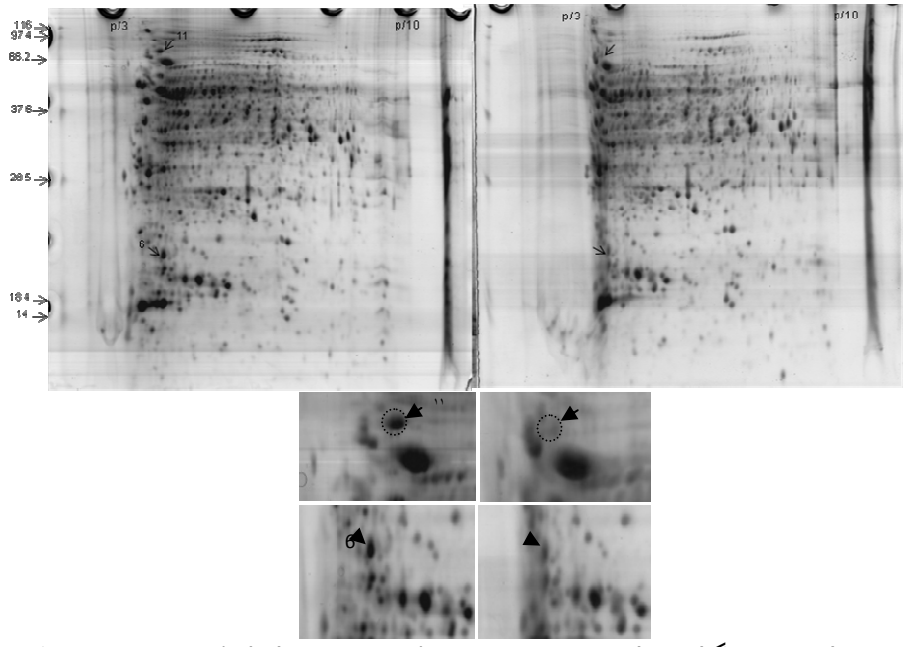
شکل ۱ - توسعه و ظهور علایم بیماري باکتریایي *R. solanacearum* در گیاهان حساس و مقاوم M. truncatula. علایم بین یک تا ۴ بر حسب شدت بیماري بین ۳ تا ۴۱ روز پس از تلقیح با باکتري در گیاهان حساس قابل شناسایي است ولي گیاهان مقاوم حداکثر تا شاخص یک را از خود نشان دادند. گیاهان حساس و مقاوم شاهد که با باکتري آلوده نشده اند هیچ علایمي از خود نشان ندادند. آزمایش شامل سه تکرار به همراه محاسبه انحراف معیار بود.

[Downloaded from mail.mg.genetics.ir on 2026-11-20]

[DOR: 20.1001.1.20084439.1388.4.4.1.1]

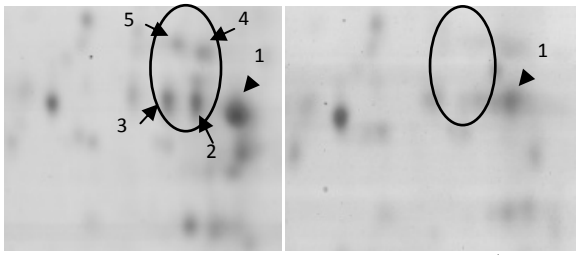


شکل ۲– الگوي پروتئوم بافت ریشه گیاه مقاوم M. truncatula، ژل دو بعدي حاصل از پروتئین ریشه، یک روز پس از تلقیح با باکتري *R. solanacearum* (سمت چپ) در مقایسه با گیاه شاهد (سمت راست). لکه‌هاي نام گذاري شده پروتئینهاي هستند که بیان آنها در گیاه مقاوم پس از تلقیح با باکتري افزایش یافته است.

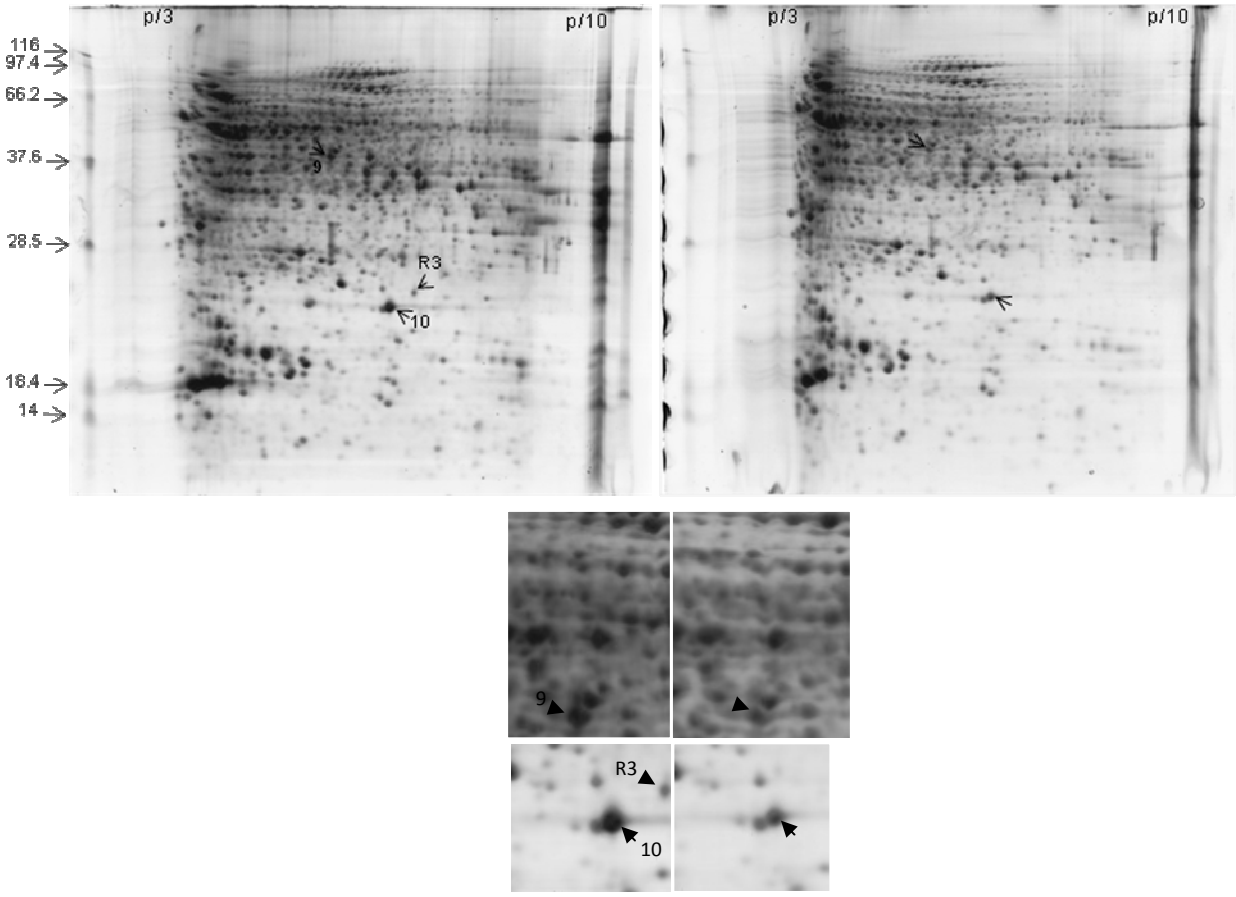


شکل ۳– الگوي پروتئوم بافت ریشه گیاه حساس M. truncatula، ژل دو بعدي حاصل از پروتئین ریشه، یک روز پس از تلقیح با باکتري *R. solanacearum* (سمت چپ) در مقایسه با گیاه شاهد (سمت راست). لکه‌هاي نام گذاري شده پروتئینهاي هستند که بیان آنها در گیاه حساس همانند گیاه مقاوم پس از تلقیح با باکتري افزایش یافته است.

[Downloaded from mail.mg.genetics.ir on 2026-11-20]
[DOR: 20.1001.1.20084439.1388.4.4.1.1]



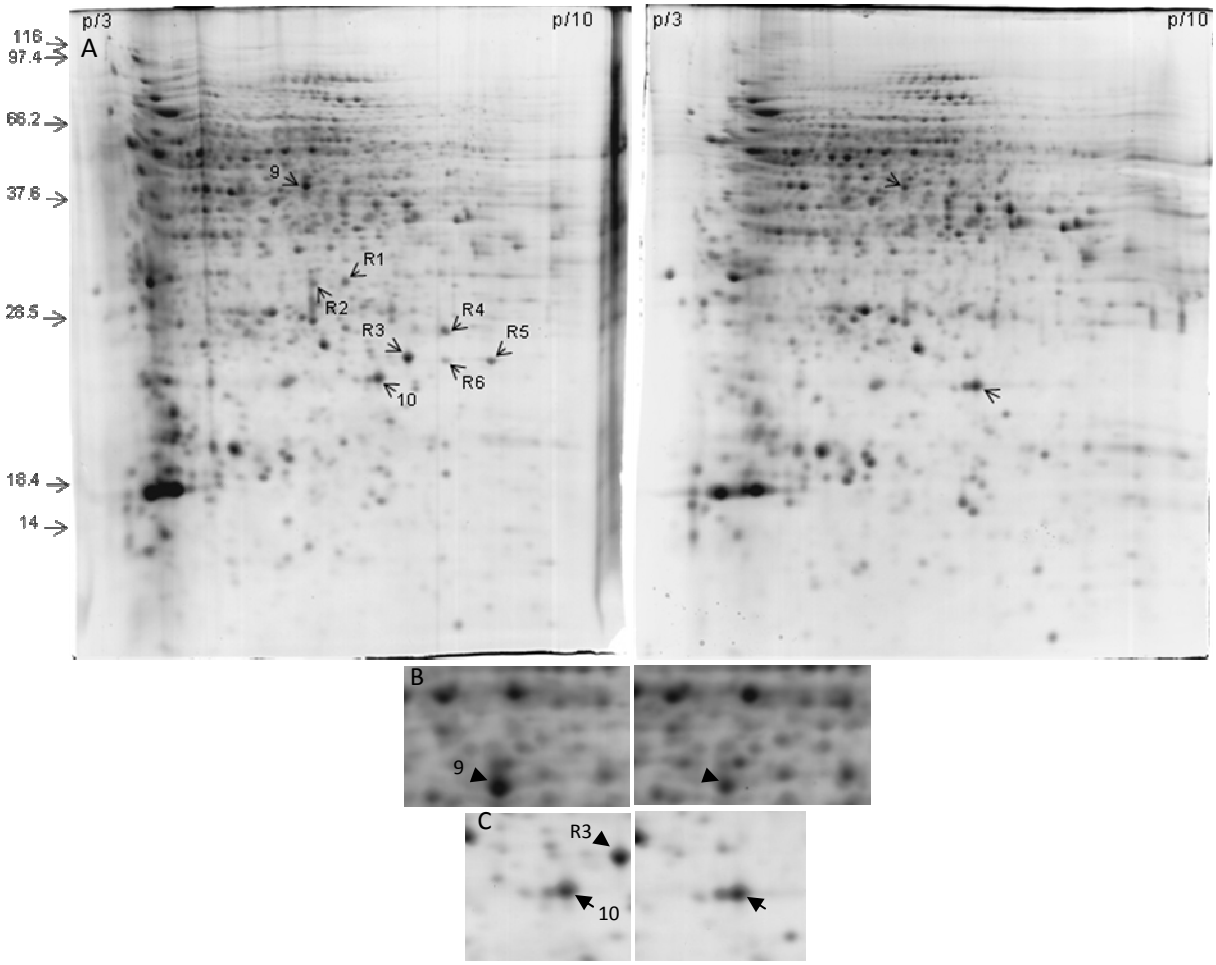
شکل ۴– مقایسه الگوي پروتئوم بافت ریشه در گیاهان مقاوم (سمت چپ) و حساس (سمت راست) M. truncatula یک روز پس از تلقیح با باکتري R. solanacearum. لکه‌هاي شماره ۱، ۲ و۳ که هر سه پروتئین peptidyl-prolyl cis-trans isomerase هستند که لکه شماره ۱ با ۸.۵ pI و وزن مولکولي ۲۰ کیلو دالتون در موقعیت یکساني در نقشه پروتئوم هر دو گیاهان مقاوم و حساس قرار دارد ولي دو لکه ۲ و۳ فقط در گیاهان مقاوم با pI هاي به ترتیب ۸ و ۷/۵ بصورت position shift نسبت به لکه شماره یک به طرف pH اسیدي تغییر مکان کرده‌اند. لکه‌هاي ۴ و ۵ هر دو پروتئین kunitz inhibitor ST1-like (Proteinase inhibitor 20) با pI هاي به ترتیب ۸ و ۷/۵ فقط درگیاهان مقاوم بصورت position shift تغییر کرده‌اند.



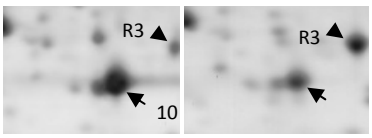
شکل ۵– الگوي پروتئوم بافت ریشه گیاهان مقاوم M. truncatula. ژل دو بعدي حاصل از پروتئین ریشه، سه روز پس از تلقیح با باکتري R. solanacearum (سمت چپ) در مقایسه با گیاه شاهد (سمت راست). لکه‌هاي نام گذاري شده پروتئین‌هاي هستند که بیان آنها در گیاهان مقاوم پس از تلقیح با باکتري افزایش یافته است. لکه R3 پروتئین باکتریایي R. solanacearum است که فقط در گیاهان تلقیح شده با باکتري دیده مي‌شود.

[Downloaded from mail.mg.genetics.ir on 2026-11-20]

[DOR: 20.1001.1.20084439.1388.4.4.1.1]



شکل ۶– الگوي پروتئوم بافت ریشه گیاهان حساس M. truncatula. ژل دو بعدي حاصل از پروتئین ریشه، سه روز پس از تلقیح با باکتري R. solanacearum (سمت چپ شکل A) در مقایسه با گیاه شاهد (سمت راست شکل A)، لکه‌هاي پروتئین R1 تا R6 که فقط در گیاهان تلقیح شده با باکتري قابل ردیابي هستند پس از طیف سنجي جرمي به عنوان پروتئین‌هاي باکتریایي R. solanacearum شناسایي شدند. بیان پروتئین شماره ۹ (Peroxidase) در گیاهان حساس همانند گیاهان مقاوم (شکل ۵) پس از تلقیح با باکتري افزایش یافته است (سمت چپ شکل B) ولي پروتئین شماره ۱۰ (PR-5) بر خلاف گیاهان مقاوم (شکل ۵) در گیاهان حساس پس از تلقیح با باکتري تغییر بیان نداشت (شکل C). لکه R3 پروتئین باکتریایي R. solanacearum است که فقط در گیاهان تلقیح شده با باکتري دیده مي‌شود (سمت چپ شکل C).



شکل ۷– مقایسه الگوي پروتئوم بافت ریشه در گیاهان مقاوم (سمت چپ) و حساس (سمت راست) M. truncatula سه روز پس از تلقیح با باکتري *R. solanacearum*. سه روز پس از تلقیح با باکتري، بیان پروتئین شماره ۱۰ (PR-5) در گیاهان مقاوم نسبت به گیاهان حساس اختلاف محسوسي دارد. لکه R3 پروتئین باکتریایي *R. solanacearum* است و بیان آنها در گیاهان حساس نسبت به گیاهان مقاوم پس از تلقیح با باکتري بیشترشده است.

.

[Downloaded from mail.mg.genetics.ir on 2026-11-20]
[DOR: 20.1001.1.20084439.1388.4.4.1.1]

Spot[a]	Best matching gene product[b]	Chromosome[c]	MW (KD)Theoretical	pI Theoretical	MW(KD) on gel	pI on gel	Inductions ratios postinoculation[d]				*M. truncatula*(Accession Number)	Identified peptide sequences[e]	Protein Score (MASCOT) LC-MS/MS[f]	% Coverage[g]
							Susceptible Plant		Resistant Plant					
							Day 1	Day 3	Day1	Day 3				
1	Peptidyl-prolyl cis-trans isomerase	?	18.١	8.3	١٧.٣	8.5	-	-	-	-	TC127550	FDMSVGGNPAGR-GGESIYGSKFADENFIK-KHTGP GILSMANAGPGTNGSQFFICTAKTEWLDGKHVVFGQ	335	41
2	Peptidyl-prolyl cis-trans isomerase	?	18.1	8.3	١٧.٣	8	Absent	Absent	Present	Present	TC127550	FADENFIK-VVEGLDIVKEIEKVGSGSGKTSKPVV IAD	191	22
3	Peptidyl-prolyl cis-trans isomerase	?	18.1	8.3	١٧.٣	7.5	Absent	Absent	Present	Present	TC127550	IIFELFADVTPRTAENFRALCTGEKGVGRSGKPL-F ADENFIK	260	25
4	Proteinase inhibitor 20	6	23.4	7.6	١٩.٨	8	Absent	Absent	Present	Present	AC122730_2	CPVTVLQDR	40	4
5	Proteinase inhibitor 20	6	23.4	٧.٦	١٩.٨	7.5	Absent	Absent	Present	Present	AC122730_2	CPVTVLQDR	40	4
6	Kunitz trypsin protease inhibitor	3	٢٣	5.1	٢٠.٧	4.8	4.21±0.18	-	2.01±0.15	-	CU019604_15	TCPLDVIR-NPDAIGTPVYFSASGLDYIPTLTDLT IEIPILGSPCNEPK-LAGEHAYEIYSFK-FCPSVP GVLCAPVGTFVDTDGTK-VMAVGDGIEEPYYVR	155	46
7	PR10 protein	?	١٦.٦	4.5	١٤.٣	4.3	1.42±0.09	-	2.39±0.17	-	gi|1616609	GVFNFEDETTSIVAPAR-ALVTDSDNLIPK-VIDAI QSIEIVEGNGGAGTIK-TFVEGGETK-LSAGPDGG SIAK-GDAAPSEEEIK-ALEGYVLANPDY	523	60
8	Pprg2 protein	?	١٦.٥	5.٨	١٤.٨	4.8	1.68±0.13	-	2.78±0.16	-	gi|22266001 *M. sativa*	GVFTFNDEHVSTVAPAK-VISAAQSVEIVEGNGGP GTIK-TNFVLHK	219	28
	Cold responsive protein	?	١٦.٥	5.٨	١٤.٨	4.8	1.68±0.13	-	2.78±0.16	-	gi|37542526 *T. repens*	DADEIVPK-LTVVEDGK	102	10
9	Peroxidase	?	٣٨.٢	5.8	٣٦.٩	5.8	-	2.25±0.19	-	3.52±0.20	gi|537317 *M. sativa*	DTCPNVHSIVR-GLDVVNQIK-VLTGSQGEIR	195	8
10	Thaumatin-like protein PR-5	5	٢٦.٢	5.8	٢١.٩	6	-	1.02±0.09	-	3.25±0.12	CU326391_11	GQTWNLWVNPGTAMAR-TGCNFDGSGR-ISCTADI NGQCPNELR-TQGGCNNPCTVFK-CHDSYSYPQDD PTSTFTCPAGSNYK	487	40
11	Molecular chaperone Hsp90	5	80.5	4.9	٨٤.٣	4.7	8.72±0.34	-	4.5±0.28	-	CT573078_38	ELISNASDALDK-FEGLTDK-LDSQPELFIHIIPD K-TNNTLTIIDSGIGMTK-ADLVNNLGTIAR-DTTG EALGR-EDQLEYLEER-EVSNEWSLVNK-SLTNDWE EHLAVK-APFDLFDTK-VFIMDNCEELMPEYLSFV K-GIVDSEDLPLNISR-FYEAFSK-LGIHEDSQNK -EGQNDIYYITGESK-AVENSPFLEK-LGLSIDED AAEADADMPPLEEADADAEGSK	450	31

[Downloaded from mail.mg.genetics.ir on 2026-11-20]

[DOR: 20.1001.1.20084439.1388.4.4.1.1]

a- لكه‌هاي پروتئيني شماره‌گذاري شده بر روي ژل‌هاي دو بعدي گياهان حساس و مقاوم شاهد (گياهان حساس و مقاوم تلقيح نشده با باكتري) و تلقيح شده با باكتري. *R. solanacearum*

b- نام پروتئين شناسايي شده از طريق طيف سنجي جرمي (ESI-MS/MS) به كمک بانک اطلاعاتي ژنوم گياه M. truncatula (MtGI) و بانک اطلاعاتي NCBI.

c- محل كروموزومي مرتبط با پروتئين‌هاي شناسايي شده به كمک بانک اطلاعاتي ژنوم گياه M. truncatula (MtGI).

d- محاسبه شاخص افزايش بيان پروتئين در گياهان حساس و مقاوم پس از تلقيح با باكتري نسبت به گياهان شاهد در سه تكرار به همراه محاسبه انحراف معيار: - = نشان دهنده عدم تغيير بيان، present و absent به ترتيب نشان دهنده وجود و عدم وجود پروتئين در ژل‌هاي دو بعدي است.

e- توالي پپتيدي شناسايي شده از طريق طيف سنجي جرمي (ESI-MS/MS).

f- امتياز داده شده به پروتئين‌هاي شناسايي شده از طريق طيف سنجي جرمي (ESI-MS/MS) به كمک نرم افزار MASCOT در بانک اطلاعاتي ژنوم گياه M. truncatula (MtGI) و بانک اطلاعاتي NCBI.

g- درصد پروتئين شناسايي شده.

[Downloaded from mail.mg.genetics.ir on 2026-11-20]

[DOR: 20.1001.1.20084439.1388.4.4.1.1]

جدول ۲: لکه‌هاي پروتئيني متعلق به باکتري *R. solanacearum* شناسايي شده از گياهان حساس و مقاوم در سومين روز پس از تلقيح.

Spot [a]	Best matching gene product [b]	Susceptible Plant[c]		Resistant Plant[c]		*R. solanacearum* Accession Number	Identified peptide sequencese[d]	Protein Score MASCOT LC-MS/MS[f e]	% Coverage[f]
		Pre- Inoculation d	Post- Inoculationd	Pre- Inoculationd	Post- Inoculationd				
R1	Putative uncharacterized protein	Absent	++	Absent	+	gi|17544951	DTLDVLAK - LINSIVGLYDGVSQQDK- YLVLSSLIR – FELCFP ELAYETV	311	42
R2	Putative uncharacterized protein	Absent	++	Absent	+	gi|17544951	SVFLAEQTSFDSAAAVGDFLGK- GEAIYSDPR DTLDVLAK- YV EEIDNTP FFHLLTHDGNER-LINSIVGLYDGVSQQ DK-YLVLSS LIR-QTIIGWTK-FELCFPE L AYETV	423	44
R3	Putative uncharacterized protein	Absent	++	Absent	+	gi|17546446	WHAVEHAVMTVEQR-ALASLAEKQLADAPQIK	79	16
R4	Alkyl hydroperoxide reductase (Subunit c) oxidoreductase protein	Absent	++	Absent	+	gi|17548466	FVEVTEQNLK-AGAEVYIVTTDTHFSHK-GTFVINPEGVVKTSE VHDNAIAR-AAQYVASNPGQVCPAK	199	35
R5	Polyhydroxybutyrate granule-associated protein (Phasin) phap1	Absent	++	Absent	+	gi|17546324	MLTQEQIAAAQKANLETFFGLTNK-DA QELLAVHTA AVQP LAEK-HLYEIFS DTQTEFGKVAETQIAEGSR-NAPAGSESAVA LVKSALSAANNAYDSVQK	118	51
R6	Polyhydroxybutyrate granule-associated protein (Phasin) phap1	Absent	++	Absent	+	gi|17546324	MLTQEQIAAAQKANLETFFGLTNK-DAQELLAVHTAAV QPL AEKVLAYNRHLYEIFSDTQTEFGKVAETQIAEGSR-SALSA AN NAYDSVQK-QAVELAESNFHAAANAASK	451	56

a- لکه‌هاي پروتئيني شماره گذاري شده بر روي ژل‌هاي دو بعدي گياهان حساس و مقاوم تلقيح شده با باکتري.*R. solanacearum*

b- نام پروتئين شناسايي شده از طريق طيف سنجي جرمي (ESI-MS/MS) به کمک بانک اطلاعاتي.NCBI

c- شاخص ميزان بيان پروتئين‌هاي باکتريايي در گياهان حساس و مقاوم در سومين روز پس از تلقيح = Absent :عدم وجود لکه پروتئين باکتريايي، + = بيان کم پروتئين باکتريايي، ++ = بيان بالاي پروتئين باکتريايي.

d- توالي پپتيدي شناسايي شده از طريق طيف سنجي جرمي.(ESI-MS/MS)

e- امتياز داده شده به پروتئين‌هاي شناسايي شده از طريق طيف سنجي جرمي (ESI-MS/MS) به کمک نرم افزار MASCOT در بانک اطلاعاتي.NCBI

f- درصد پروتئين شناسايي شده.

[Downloaded from mail.mg.genetics.ir on 2026-11-20]

[DOR: 20.1001.1.20084439.1388.4.4.1.1]

جدول ۳: آغازگرهاي طراحي شده از ژنهاي مرتبط با پروتئين هاي شناسايي شده به کمک بانک اطلاعاتي ژنوم گياه M. truncatula (MtGI) و بانک اطلاعاتي NCBI.

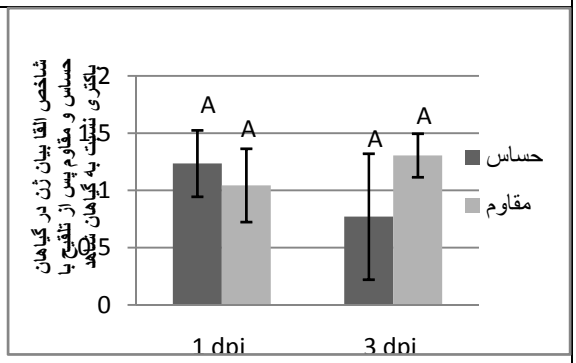
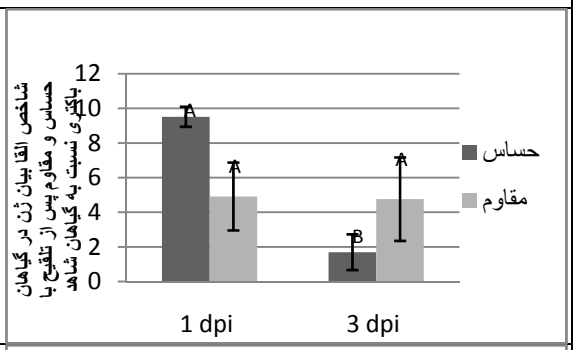
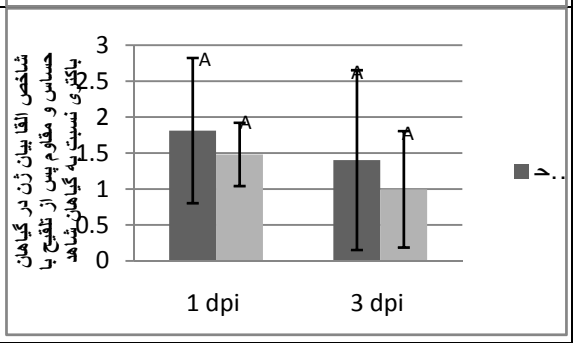
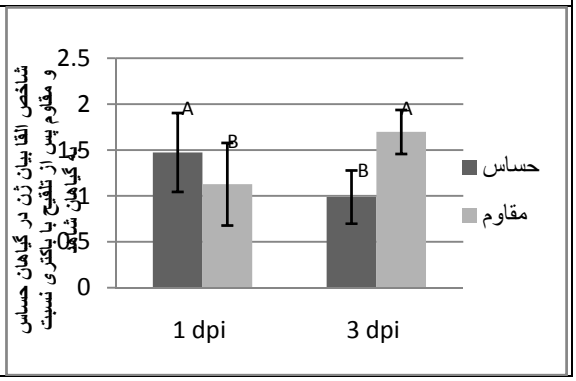
Name	Accession no.	Forward primers	Reverse primers
Thaumatin-like protein PR-5	CU326391_11	TCAATGGTGTGTTCTTTCAATAAGTTG	CACACAATACACACAGCAAAATACAGTAA
Kunitz trypsin protease inhibitor	CU019604_15	GCCCAAATCAGACGAGGTATGT	GAGACTTCCTGCATGAGACACAA
Proteinase inhibitor 20	AC122730_2	TGCTGCATCAACAAAATGGTTAA	TTTTCAGGACCACCAATACCAAT
Peptidyl-prolyl cis-trans isomerase	TC127550	TCTTCCTTCCACCGTGTGATC	ATTCCAGGACCGGTGTGCTT
Pprg2 protein	gi|22266001	CACACCAAAGGTGATGCAGCTC	ATGGCCTTGATAAGTCCAGTTCC
Cold responsive protein	gi|37542526	GGAACAGGGTTGGATGAAAGTTT	CACTGAAATCTTAACAATGGATCCA
Molecular chaperone Hsp90	CT573078_38	TATTAGATGCAATTTTCTTGACCAGTGT	CGAACCAACAACAGTCAACAAATAA
PR10 protein	gi|1616609	CACAGTGGAGAAGATCTCCTTTGA	ACAGTAAGCTTTGCAATGGATCCT
Peroxidase	TC114533	TAGAGGTCAATGCAGATTCTTCGTT	GTTGAGAGTTGGATCGGGATTTC
Elongation factor 1α[a]	gi|217072267	GAGGTTGGTTCGTGAAATTGC	CAGCATGGCTCTGGAAACG

a- آغازگرهاي طراحي شده از ژن Elongation factor 1α جهت استفاده از آن به عنوان استاندارد داخلي در real time q-RT- PCR.

[Downloaded from mail.mg.genetics.ir on 2026-11-20]

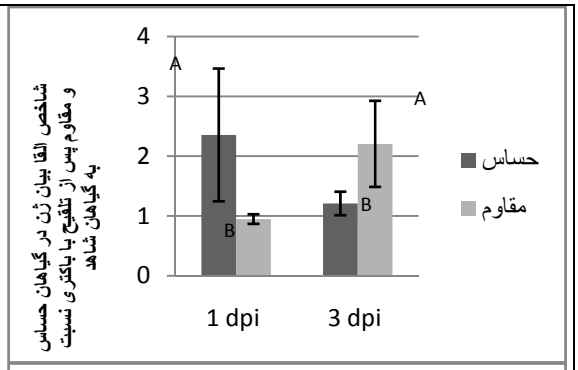
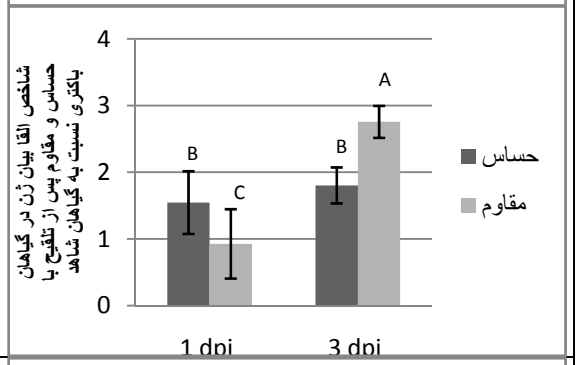
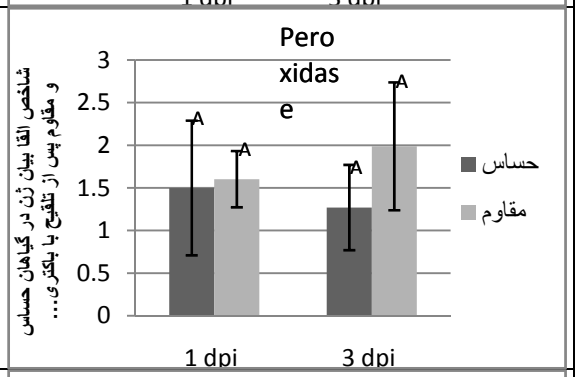
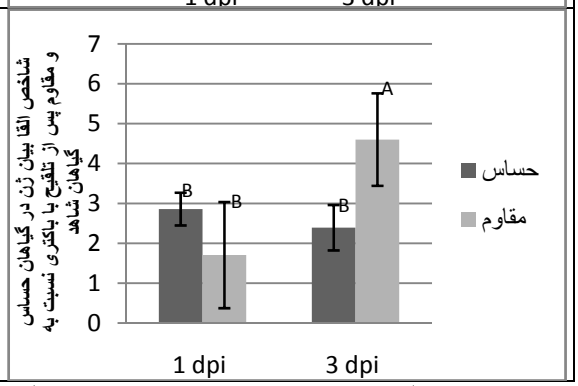
[DOR: 20.1001.1.20084439.1388.4.4.1.1]

جدول۴- جدول مقایسه میزان افزایش بیان ژن‌ها در سطح mRNA در بافت ریشه گیاهان حساس و مقاوم M. truncatula پس از تلقیح با باکتری *R. solanacearum* نسبت به گیاهان شاهد.

Spot[a]	Best matching gene product	q-RT-PCR[b]
1,2,3	Peptidyl-prolyl cis-trans isomerase	
4,5	Proteinase inhibitor 20	
6	Kunitz trypsin protease inhibitor	
7	PR10 protein	

[Downloaded from mail.mg.genetics.ir on 2026-11-20]

[DOR: 20.1001.1.20084439.1388.4.4.1.1]

8	Pprg2 protein	
	Cold responsive protein	
9	Peroxidase	
10	Thaumatin-like protein PR-5	

a- لکه هاي پروتئيني شماره گذاري شده بر روي ژل هاي دو بعدي گياهان حساس و مقاوم شاهد (گياهان حساس و مقاوم تلقيح نشده با باکتري) و تلقيح شده با باکتري.R. solanacearum

b- شاخص ميزان افزايش بيان ژنها در سطح mRNA مرتبط با پروتئين هاي مقاومت شاسايي شده از گياهان حساس و مقاوم M. truncatula در روزهاي اول و سوم پس از تلقيح با باکتري *R. solanacearum* نسبت به گياهان شاهد، در آزمايش real time q-RT- PCR .ميانگين‌هاي مشخص شده با حروف متفاوت نشان دهنده اختلاف معني‌دار ($p< ۰.۵$) درميزان بيان mRNA ژن کانديد در بين گياهان حساس و مقاوم در سه تکرار بيولوژيکي مي‌باشد. ميله خطا بر روي هيستوگرام معرف انحراف معيار است.

[Downloaded from mail.mg.genetics.ir on 2026-11-20]

[DOR: 20.1001.1.20084439.1388.4.4.1.1]

بحث

در این پژوهش براي استخراج پروتئین از بافت ریشه گیاه روش دامروال و همکارانش (۱۶) استفاده شد ولي از آنجائیکه حلالیت بعضي از پروتئین‌ها شامل پروتئین‌هاي هیدروفوب غشایي و پروتیئن‌هاي بازي در این روش و روش‌هاي مرسوم دیگر براي آزمایش 2D-PAGE پائین است (۱۹،۱۸). لذا براي افزایش حلالیت چنین پروتئین‌ها از دترجنت SDS با غلظت ۲ درصد و دترجنت سولفوبتائین ASB14 با غلظت ۰/۷ در صد استفاده گردید. پس از حذف SDS از محلول پروتئین (با استفاده از کیت 2D clean up) که به دلیل بار منفي مي‌تواند در بعد اول الکتروفورز ایجاد اختلال کند توانستیم پروتئین‌هاي مهم با pH بازي ۸ مانند پروتئین لکه‌هاي ۱، ۲، ۳، ۴ و۵ را با وضوح بالا که در مقاومت نسبت به پاتوژن باکتریایي دخالت دارند شناسایي کنیم (شکل ۲ لکه‌هاي ۱، ۲، ۳، ۴ و ۵). همچنین به علت عدم آگاهي از بار الکتریکي پروتئین‌هاي گیاهي کاندید علیه پاتوژن باکتریایي از نوارهاي ژلي با p*I* 3-10 NL براي بعد اول الکتروفورز استفاده شد.

در منابع گزارش شده است که باکتري *R. solanacearum* ابتدا در مدت یک روز پس از تلقیح از طریق ریشه در فضاهاي بین سلولي تکثیر شده و به آوندهاي چوبي حمله مي‌کند و پس از گذشت ۳ تا ۵ روز از شروع تلقیح تولید اگزوپلي ساکارید در آوندهاي گیاهي کرده که باعث مسدود شدن آوندها و در این زمان (۳ تا ۵ روز) اولین علایم بیماري ظاهر مي‌شود (۱۰، ۹). بنابراین در این تحقیق، نمونه‌گیري روز اول و سوم که مطابق با تکثیر باکتري در فضاهاي بین سلولي بافت ریشه و تولید اگزوپلي ساکارید در آوندها است براي تغییر بیان ژن‌ها در دو سطح پروتئین و mRNA انتخاب شدند.

در مقایسه لکه‌هاي R1 تا R6 بین ژل‌هاي گیاهان مقاوم و حساس پس از تلقیح در بافت ریشه و در نمونه‌گیري روز سوم (شکل ۶) مشخص گردید که درصد حجم و همچنین شدت تراکم[6] این لکه‌ها در گیاه حساس بیشتر از گیاه مقاوم است. قابل ذکر است که در نمونه‌گیري روز اول پس از تلقیح این لکه‌ها قابل ردیابي نبودند. پس از شناسایي این لکه‌ها از طریق طیف سنجي جرمي (جدول ۳) مشخص شد که این لکه‌ها متعلق به باکتري *R. solanacearum* هستند و افزایش حجم این لکه‌ها در گیاهان حساس نسبت به گیاهان مقاوم پس از تلقیح مي‌تواند نشانگر میزان تکثیر بیشتر باکتري پاتوژن و یا بیان بیشتر این ژن‌ها در باکتري موجود در گیاهان حساس باشد و احتمالا این لکه‌ها مرتبط با فاکتورهاي بیماریزایي از باکتري پاتوژن است. اخیرا، داهال و همکاران (۲۰۰۹) نشان داده‌اند که در بخاطر اثر متقابل در بین باکتري *R. solanacearum* و گیاهان مقاوم و حساس گوجه‌فرنگي، دو لکه R3 و R4 بدست آمده در تحقیق حاضر در گیاهان حساس گوجه‌فرنگي نیز نسبت به گیاهان مقاوم بیشتر بیان شده‌اند (۱۲). باید خاطرنشان کرد که این لکه‌ها فقط در ژل‌هاي دو بعدي مرتبط با گیاهان تلقیح شده با باکتري دیده شد و در گیاهان کنترل این لکه‌ها وجود نداشتند (شکل‌هاي ۵ تا ۷).

در این تحقیق نتایج حاصل از q-RT-PCR نزدیك به ۲۵ درصد هماهنگي با نتایج بررسي پروتئوم داشت که این نتیجه موافق نتیجه گایقي و همکاران (۱۹۹۹) (۲۰) ومخالف با نتیجه گزارش شده توسط فوشر و همکاران (۱۹۹۹) بود (۲۱).

عدم هماهنگي کامل (۱۰۰ درصد) بین بیان mRNA و پروتئین با توجه به گزارشات قبلي داراي دلایل متعدد است که از جمله میتوان به سرعت تغییر و تبدیل و از بین رفتن متفاوت پروتئین‌ها نسبت به mRNA (۲۲)، تغییرات پس از ترجمه پروتئین‌ها (از جمله فسفریلاسیون، استیلاسیون و گلیکوزیلاسیون که مي‌توانند بار الکتریکي یا وزن مولکولي پروتئین را تغییر دهند که در این صورت در ژل دو بعدي لکه‌هاي متفاوتي از یک پروتئین ظاهر مي‌شوند که همه آنها مرتبط با یک mRNA هستند) (۲۳)، کنترل ترجمه ژن از طریق ترجیح کدوني[7] (۲۴) و عدم وجود دنباله پلي A در mRNA هاي رونویسي شده از ژن‌هاي کلرویلاستي اشاره کرد (۲۵). در مورد آخر، mRNA ها به پروتئین تبدیل مي‌شوند ولي از طریق آغازگر پلي T به cDNA تبدیل نشده و لذا قابل

[6] -intensity

[7] -codon bias

[Downloaded from mail.mg.genetics.ir on 2026-11-20]

[DOR: 20.1001.1.20084439.1388.4.4.1.1]

ردیابي از طريق q-RT-PCR نيستند. علاوه بر اين در آزمايشات دو بعدي شناسايي لكه پروتئيني كه در اثر عامل تنش (زنده و يا غير زنده) تغيير بيان داشته، برخي از لكه‌ها شامل بيش از يک پروتئين هستند و در طيف سنجي جرمي، پپتيدهاي پروتئيني كه بيشتر يونيزه شود خود بهتر شناسايي شده و مانع شناسايي پروتئين‌هاي ديگر مي‌شود در حالي كه ممكن است پروتئين اصلي كه تحت تاثير تنش تغيير بيان داشته مرتبط با پروتئين شناسايي شده نباشد. لذا با طراحي آغازگر براي پروتئين شناسايي شده ممكن است نتيجه q-RT-PCR مطابق با نتيجه حاصل از ژل‌هاي دوبعدي نباشد.

در تحقيق حاضر پس از شناسايي ژن‌هاي كانديد براي مقاومت و تعيين محل كروموزومي آنها (جدول ۱) مشخص شد كه اين ژن‌ها بر روي كروموزوم‌هاي ۳، ۵ و ۶ قرار گرفته‌اند. در همين رابطه وايلو و همكاران (۲۰۰۷) (۹) از طريق تهيه نقشه QTL محل كروموزومي يک QTL بزرگ اثر براي مقاومت به باكتري *R. solanacearum* و چند QTL كوچک اثر را در روي كروموزوم‌هاي شماره ۳، ۵ و ۷ رديابي نمودند. با توجه به تطابق زياد نتايج مكان‌يابي ژني در اين دو تحقيق شايد بتوان نتيجه گرفت كه ژن‌هاي شناسايي شده برروي كروموزوم‌هاي ۳ و ۵ تحقيق حاضر همان QTL هاي شناسايي شده توسط وايلو و همكاران (۲۰۰۷) (۹) و يا ژن‌هاي پيوسته به آنها مي‌باشند. براي تاييد اين مطلب نياز به تعين توالي QTL هاي مذكور و تطابق توالي‌ها با توالي ژن‌هاي شناسايي شده در اين تحقيق مي‌باشد.

نتايج حاصل از اين تحقيق نشان داد كه به طور كلي مي‌توان ژن‌هايي كه بيان آنها برعليه پاتوژن باكتريايي تغيير كرده است را به دو گروه طبقه‌بندي كرد. گروه اول شامل ژن‌ها يا پروتئين‌هاي مقاومت كه محصول آنها بصورت مستقيم با پاتوژن واكنش مي‌دهد مانند ژن‌هاي شماره ۴، ۶، ۷، ۹ و ۱۰ كه مشخصات آنها در جدول شماره ۱ آمده است و گروه دوم شامل ژن‌هايي كه محصول آنها بعنوان فاكتورهاي رونويسي[8] يا پروتئين‌هاي شركت كننده در مسير انتقال پيام و يا به عنوان چپرون در تعيين شكل فضايي پروتئين‌هاي ديگر دخالت مي‌كنند مانند ژن‌هاي شماره ۱، ۲، ۳ و ۱۱ از جدول۱.

در مورد نقش پروتئين HSP90 درمقاومت به تنش زنده گزارش شده است كه اكثر ژن‌ها- پروتئين‌هاي مقاومت (R-genes) حاوي ناحيه LRR(leucine rich repeat) به تنهايي قادر به شناسايي اليسيتور پاتوژن و شروع فعاليت مسير انتقال پيام نيستند (۳۰، ۲۹، ۲۸، ۲۷، ۲۶) و براي اين كار كمپلكس R پروتئين وابسته به مولكول HSP90 است. نقش HSP90 برروي فعاليت R فراورده ژن *pto* براي مقاومت نسبت به پاتوژن باكتريايي *Pseudomonas syringae* در توتون و آرابيدوپسيس (۳۱، ۳۰، ۲۹)، و برروي R پروتئين ژن *Rx* براي مقاومت برعليه ويروس X درسيب‌زميني (۳۰، ۲۹، ۲۷) و برروي R پروتئين ژن *N* برعليه ويروس موزائيک توتون (۳۰، ۲۹، ۲۸) ثابت شده است. براي شناسايي نقش مولكولي و مكانيزم عمل HSP90، سانگستر و همكاران (۳۱) و بوتر و همكاران (۲۸) به ترتيب در آرابيدوپسيس و توتون مدلي را ارائه كردند كه در شرايط عدم وجود اليسيتورپاتوژن مولكول RIN4 گياهي به كمپلكس R پروتئين چسبيده و آن را غيرفعال مي‌كند. با واكنش فاكتور غير بيماريزاي[9] پاتوژن به كمپلكس R پروتئين، مولكول RIN4 از كمپلس R پروتئين جدا مي‌شود. R پروتئين در اين حالت دو سرنوشت خواهد داشت به اين صورت كه در حضور كمپلكس HSP90-SGT1-RAR1 اين كمپلكس از طريق مولكول SGT1 مي‌تواند به ناحيه LRR از R پروتئين بچسبد و به اين طريق R پروتئين به شكل فضايي مطلوب خود رسيده و مسير انتقال پيام را فعال كند و يا در عدم حضور كمپلكس HSP90-SGT1-RAR1، كمپلكس R پروتئين بوسيله ماشين هضمي كه يكي از اجزا آن SGT1 است تجزيه مي‌شود كه نتيجه آن حساس شدن گياه نسبت به پاتوژن عليرغم وجود R پروتئين مي‌باشد.

با توجه به شكل ۴ و جدول ۱ مي‌توان دريافت كه لكه‌هاي شماره ۲، ۳، ۴ و۵ فقط در گياهان مقاوم مشاهده شدند ولي در گياهان حساس قابل مشاهده نيستند. لكه‌هاي ۴ و ۵ هر دو پس از

[8] -Transcription factor

[9] -avirulence factor

[Downloaded from mail.mg.genetics.ir on 2026-11-20]

[DOR: 20.1001.1.20084439.1388.4.4.1.1]

شناسايي از طريق طيف سنجي جرمي به پروتئين kunitz inhibitor ST1-like (Proteinase inhibitor20) تعلق دارند كه با استفاده از نرم افزار signal P3.0 server مشخص شد كه يک توالي bp ۲۵ به عنوان signal peptide در ناحيه N ترمينال پروتئين مسئول ترشح اين پروتئين از غشاهاي سلولي است. با حذف اين ناحيه كه شامل دو اسيدآمينه ليزين و هيستيدين ، شارژ بار مثبت اين پروتئين كم شده و پروتئين خاصيت اسيدي پيدا مي‌كند و p*I* آن كم شده كه در شكل ۴ (لكه‌هاي ۴ و ۵) اين موضوع قابل مشاهده است.

همچنين سه لكه ۱، ۲ و ۳ با p*I* هاي متفاوت در شكل‌هاي ۴ هر سه مرتبط به پروتئين peptidyl-prolyl cis-trans isomerase هستند. نقش اين آنزيم در تبديل فرم سيس به ترانس گروه‌هاي پپتيد حول پيوند پپتيدي است. تراپف و همكاران (۲۰۰۹) فسفريله شدن اين پروتئين را در گياه *M. truncatula* رقم A17 در اثر تلقيح با قارچ *Aphanomyces euteiches* را با استفاده از آنتي بادي آنتي فسفوسرين نشان دادند (۱۳) ولي ما در تحقيق حاضر نشان داديم كه در گياهان RILs حساس به باكتري بيماريزاي *R. solanacearum* (والد حساس اين گياهان رقم A17 است رجوع به بخش مواد و روش‌ها) پس از تلقيح با اين باكتري لكه پروتئيني جابجا شده به طرف p*I* اسيدي ديده نمي‌شود. از طرف ديگر ما در اين تحقيق نشان داديم كه در گياهان RILs مقاوم به باكتري (والد مقاوم اين گياهان رقم F83005.5 است رجوع به بخش مواد و روش‌ها) در هر دو شرايط تلقيح و عدم تلقيح با باكتري، لكه‌هاي ۲ و ۳ مربوط به اين پروتئين به طرف p*I* اسيدي‌تر جابجا شده‌اند (شكل ۴). قابل ذكر است كه توالي پروتئين peptidyl-prolyl cis-trans isomerase بدست آمده در اين تحقيق با توالي گزارش شده توسط تراپف و همكاران (۲۰۰۹) كاملا يكسان و با p*I*، ۸/۳ و وزن مولكولي ۱۸/۱ كيلو دالتون بودند. همچنين در گياه آرابيدوپسيس گزارش شده است كه اين آنزيم باعث فعال شدن فاكتورغير بيماريزاي AvrRpt2 پاتوژن باكتريايي *P. syringae* در داخل سلول گياهي و در نتيجه باعث افزايش مقاومت گياه به اين باكتري مي‌شود (۳۲). توالي اين پروتئين با استفاده از نرم افزار Net phos 2.0 server براي احتمال فسفريله شدن مورد ارزيابي قرار گرفت و ۴ اسيدآمينه سرين با احتمال ۸۷ درصد براي فسفريله شدن شناسايي شدند. از طرف ديگر، همانطور كه در قسمت نتايج اشاره شد ميزان بيان اين ژن در سطح mRNA در بين گياهان حساس و مقاوم و همچنين نسبت به گياهان شاهد اختلاف معني‌داري نداشتند (جدول ۴). لذا مي‌توان فهميد كه تغيير در اين ژن در بين گياهان حساس و مقاوم به صورت تغييرات پس از ترجمه است و اين تغيير فقط از طريق آزمايشات پروتئوميكس قابل شناسايي مي‌باشد.

نتايج حاصل از اين تحقيق نشان داد كه گياه حساس *M. truncatula* نيز قادر است نسبت به پاتوژن *R. solanacearum* واكنش نشان دهد و خيلي از ژن‌هايي كه در ارقام مقاوم ميزان بيانشان نسبت به پاتوژن باكتريايي بيشتر مي‌شوند در گياهان حساس نيز بيان اين ژن‌ها بيشتر مي‌شوند و اين نوع مقاومت اوليه در مقالات محققين قبلي نيز تحت عنوان مقاومت PAMP-triggered immunity (PTI) گزارش شده است (۲۶،۳۳). نتايج حاصل از اين تحقيق نشان داد كه تفاوت اساسي بين ارقام مقاوم و حساس پس از تلقيح با پاتوژن باكتريايي را در دو موضوع مي‌توان خلاصه كرد:

۱- ميزان افزايش بيان ژن‌هاي مرتبط با مقاومت كه در ارقام مقاوم ميزان بيان چنين ژن‌هايي بالاتر از ارقام حساس است (ژن‌هاي شماره ۴، ۸، و ۱۰ از جدول ۱). مشابه اين نتايج در كارهاي محققين ديگر نيز گزارش شده است (۳۴).

۲- پايداري بيان ژن‌هاي مقاومت مثل ژن‌هاي شماره ۴، ۷ و ۸ از جدول شماره ۱ كه در گياهان حساس در نمونه‌گيري روز اول پس از تلقيح افزايش بيان و سپس در نمونه‌گيري روز سوم كاهش بيان داشتند ولي همين ژن‌ها در گياهان مقاوم در نمونه‌گيري روز اول پس از تلقيح افزايش بيان و اين افزايش بيان در نمونه‌گيري روز سوم ادامه پيدا كرده و سطح آن از نمونه‌گيري روز اول بيشتر مي‌شوند. اين يافته تاكنون در گزارشات قبلي به روشني اين تحقيق به آن اشاره نشده است. نويسندگان اين مقاله اين موضوع را مرتبط با شكسته شدن مقاومت اوليه (PTI) گياهان حساس *M. truncatula* از طريق توليد فاكتورهاي بيماريزا[10] از طرف پاتوژن

[10] -virulence

[Downloaded from mail.mg.genetics.ir on 2026-11-20]

[DOR: 20.1001.1.20084439.1388.4.4.1.1]

R. solanacearum مي‌دانند که پاتوژن باکتریایي به کمک این فاکتورها مي‌تواند مقاومت اولیه گیاه را خاموش کند. این مکانیزم قبلاً نیز بوسیله دیگر محققین در واکنش بین پاتوژن‌هاي موفق و گیاه حساس گزارش شده است (۳۶، ۳۵، ۳۳). درصورتي که در ارقام مقاوم *M. truncatula* محصول R-gene (گیرنده گیاهي) فاکتورهاي غیر بیماریزاي پاتوژن را شناسایي و مقاومت ثانویه و اختصاصي[11] فعال مي‌شوند که نتیجه آن پایداري و افزایش بیان ژن‌هاي مرتبط با مقاومت در نمونه‌گیري روز سوم مي‌باشد.

منابع

1. Samaj J, Thelen J (2007). Plant proteomics. Springer-Verlag, New York
2. May G, Dixon R (2004) *Medicago truncatula*. Curr Biol 14:R180–181
3. Frugoli J, Harris J (2001) *Medicago truncatula* on the move! Plant Cell 13:458–463
4.Choi H-K, Kim D, Uhm T, Limpens E, Lim H, Mun J-H, Kalo P, Penmetsa RV, Seres A, Kulikova O, Roe BA, Bisseling T, Kiss GB, Cook DR (2004). A sequence-based genetic map of *Medicago truncatula* and comparison of marker colinearity with *M. sativa.* Genetics 166:1463–1502
5. Young N D, Cannon, SB, Sato, S, Kim, D, Cook, DR, Town, CD, Roe, BA, and Tabata, S (2005). Sequencing the gene spaces of *Medicago truncatula* and *Lotus japonicus*. Plant Physiol. 137:1174-1181
6. Hayward AC (1991). Biology and epidemiology of bacterial wilt caused by *Pseudomonas solanacearum*. Annu. Rev. Phytopathol. 29:65-87
7.Thoquet P Olivier J, Sperisen C, Rogowsky P, Laterrot H, Grimsley N (1996a) Quantitative trait loci determining resistance to bacterial wilt in tomato cultivar Hawaii 7996. Mol Plant- Microbe Interact 9: 826–836
8. Deslandes L, Olivier J, Theulieres F, Hirsch J, Feng DX, Bittner-Eddy P, Beynon J, Marco Y (2002). Resistance to *Ralstonia solanacearum* in *Arabidopsis thaliana* is conferred by the recessive RRS1-R gene, a member of a novel family of resistance genes. Proc Natl Acd Sci USA 99: 2404–2408
9. Vailleau F, Sartorel, E, Jardinaud, MF, Chardon, F, Genin, S, Huguet, T, Gentzbittel, L, Petitprez1, M (2007). Characterization of the Interaction Between the Bacterial Wilt Pathogen *Ralstonia solanacearum* and the Model Legume Plant *Medicago truncatula*. MPMI. 20: 159–167
10. Kiba A, Maimbo, M, Kanda, A, Tomiyama, H, Ohnishi, K, Hikichi, Y (2007). Isolation and expression analysis of candidate genes related to *Ralstonia solanacearum*–tobacco interaction. Plant Biotechnol. 24: 409–416
11. Afroz A, Khan MR, Ahsan N, Komatsu S (2009) Comparative proteomic analysis of bacterial wilt susceptible and resistant tomato cultivars. Peptides 30: 1600-1607
12. Dahal D, Heintz, D, Dorsselaer, AV, Braun, H.P, Wydra, K (2009). Pathogenesis and stress related as well as metabolic proteins are regulated in tomato stems infected with *Ralstonia solanacearum.* Plant Physiol. Biochem. 47**:** 838-846
13. Trapphoff T, Beutner, C, Niehaus, K, Colditz, F (2009). Induction of Distinct Defence-Associated Protein Patterns in Aphanomyces euteiches (Oomycota)-Elicited and –Inoculated Medicago truncatula Cell-Suspension Cultures: A Proteome and Phosphoproteome Approach. MPMI 22:421-436
14. Castillejo M, Maldonado AM, Dumas-Gaudot E, Fernández-Apariciol M, Susín R, Diego R, Jorrín JV (2009) Differential expression proteomics to investigate responses and resistance to Orobanche crenata in *Medicago truncatula*. BMC Genomics 10: 294-311
15. Fahraeus G (1957). The infection of white clover root hairs by nodule bacteria studied by a simple slide technique. J. Genet. Microbiol. 16:374-381
16. Damerval C, de Vienne D., Zivy M., Thiellement H (1986). Technical improvements in two-dimensional electrophoresis increase the level of genetic variation detected in wheat-seedling proteins. Electrophoresis 7: 52–54
17. Candiano G, Bruschi M, Musante L, Santucci L, Ghiggeri GM, Carnemolla B, Orecchia P, Zardi L, Righetti PG (2004). Blue silver: A very sensitive colloidal Coomassie G-250 staining for proteome analysis. Electrophoresis 25: 1327–1333
18. Chinnasamy G, Rampitsch C (2006). Efficient solubilization buffers for two-dimensional gel electrophoresis of acidic and basic proteins extracted from wheat seeds. Biochim. Biophy. Acta 1764: 641 – 644
19. Song J, Braun G, Bevis E, Doncaster K (2006). A simple protocol for protein extraction of recalcitrant fruit tissues suitable for 2-DE and MS analysis. Electrophoresis. 27: 3144–3151
20. Gygi SP, Rochon Y, Franza BR, Aebersold R (1999). Correlation between protein and mRNA abundance in yeast. Mol. Cell. Biol. 19:1720–1730
21. Futcher B, Latter GI, Monardo P, McLaughlin CS, Garrels JI (1999). A sampling of the yeast proteome. Mol. Cell. Biol. 19: 7357–7368
22. Varshavsky A (1996). The N-end rule: functions, mysteries, uses. Proc. Natl. Acad. Sci. USA 93:12142–12149
23. Harford JB, Morris D. R (1997). Post-transcriptional gene regulation. Wiley-Liss, Inc., New York
24. Wang R, Prince JT, Marcotte EM (2008). Mass spectrometry of the M. smegmatis proteome: Protein expression levels correlate with function, operons, and codon bias. Genome Res. 15: 1118-1126

[11] -Effectors-triggered immunity

[Downloaded from mail.mg.genetics.ir on 2026-11-20]

[DOR: 20.1001.1.20084439.1388.4.4.1.1]

25. Urlinger S, Kuchler K, Meyer TH, Uebel S, Tamp'e R (1997). Intracellular location, complex formation, and function of the transporter associated with antigen processing in yeast. Eur. J. Biochem. 245:266–272
26. Altenbach D, Robatzek S (2007). Pattern Recognition Receptors: From the Cell Surface to Intracellular Dynamics. MPMI. 20: 1033-1039
27. Muskett P, Parker J (2003). Role of SGT1 in the regulation of plant R gene signalling. Microb. Infec. 5: 969–976
28. Boter M, Amigues B, Peart J, Breuer C, Kadota Y, Casais C, Moore G, Kleanthous C, Ochsenbein F, Shirasu K, Guerois R (2007). Structural and Functional Analysis of SGT1 Reveals That Its Interaction with HSP90 Is Required for the Accumulation of Rx, an R Protein Involved in Plant Immunity. The Plant Cell. 19: 3791–3804
29. Azevedo C, Betsuyaku S, Peart J, Takahashi A, Noel L, Sadanandom A, Casais C, Parker, J, Shirasu K (2006). Role of SGT1 in resistance protein accumulation in plant immunity. EMBO J. 25: 2007–2016
30. Peart JR (2002). The ubiquitin ligase-associated protein SGT1is required for host and nonhost disease resistance in plants. Proc. Natl. Acad. Sci. USA 99: 10865–10869
31. Sangster TA, Queitsch C (2005). The HSP90 chaperone complex, an emerging force in plant development and phenotypic plasticity. Curr. Opin. Plant Biol. 8:86–92

32. Coaker G, Falick A, Staskawicz B (2005). Activation of a Phytopathogenic Bacterial Effector Protein by a Eukaryotic Cyclophilin. Science 308 : 548-550
33. Zipfel C (2008). Pattern-recognition receptors in plant innate immunity. Curr. Opin. Immunol. 20:10–16
34. Desender S, Andrivon D, Val F (2007). Activation of defence reactions in Solanaceae: where is the specificity? Cellular Microbiol. 9: 21–30
35. Nomura K, Melotto M, He SY (2005). Suppression of host defense in compatible plant–*Pseudomonas syringae* interactions. Curr Opin Plant Biol. 8:361–368
36. Musser RO, Hum-Musser SM, Eichenseer H, Peiffer M, Ervin G, Murphy JB, Felton GW (2002). Caterpillar saliva beats plant defences. A new weapon emerges in the evolutionary arms race between plants and herbivores. Nature 416:599-600

[Downloaded from mail.mg.genetics.ir on 2026-11-20]

[DOR: 20.1001.1.20084439.1388.4.4.1.1]